

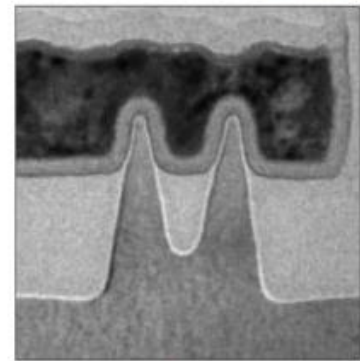
Нестационарные волновые процессы в дискретных и континуальных средах

Выполнил: студент гр. 5040103/20101 И.Н. Трунова

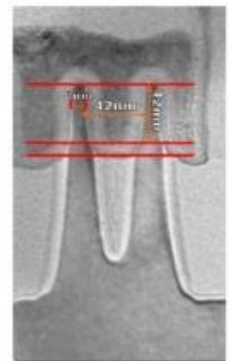
Научный руководитель: д.ф.-м.н., доцент, чл.-корр. РАН А.М. Кривцов,
профессор ВШТМиМФ, д.ф.-м.н. В.А. Кузькин

Актуальность: волновое распространение энергии на нано- и микроуровнях. Охлаждение нанопроцессоров

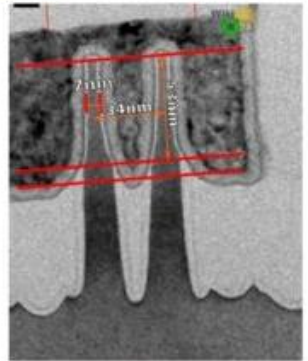
Transistor Fin Improvement



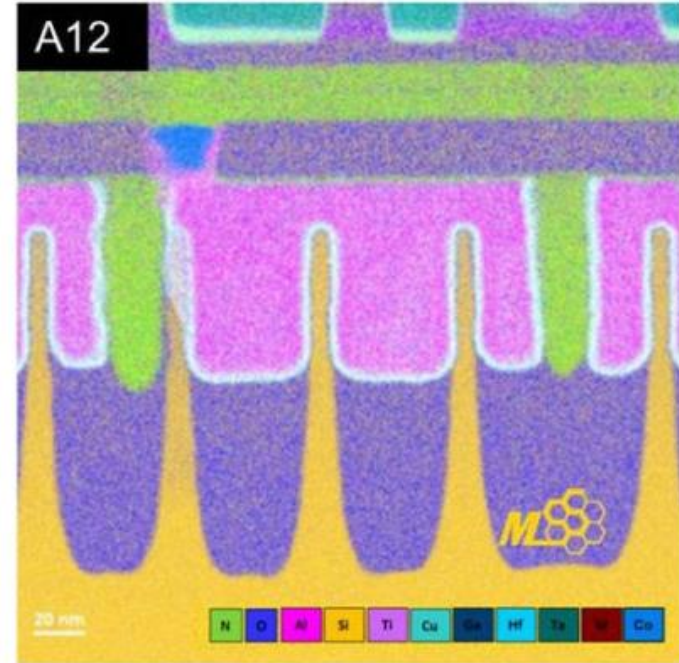
22 nm 1st Generation Tri-gate Transistor



14 nm 2nd Generation Tri-gate Transistor

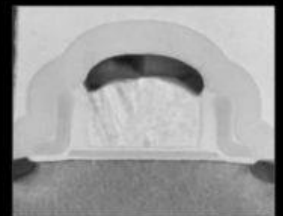


10 nm 3rd Generation Tri-gate Transistor

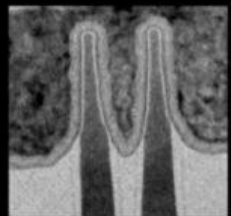


структура процессора Apple A12, произведенного на заводе TSMC по 7-нанометровому техпроцессу.

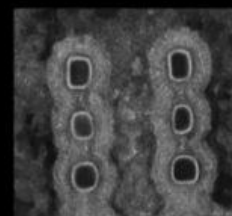
TRANSISTOR ARCHITECTURE



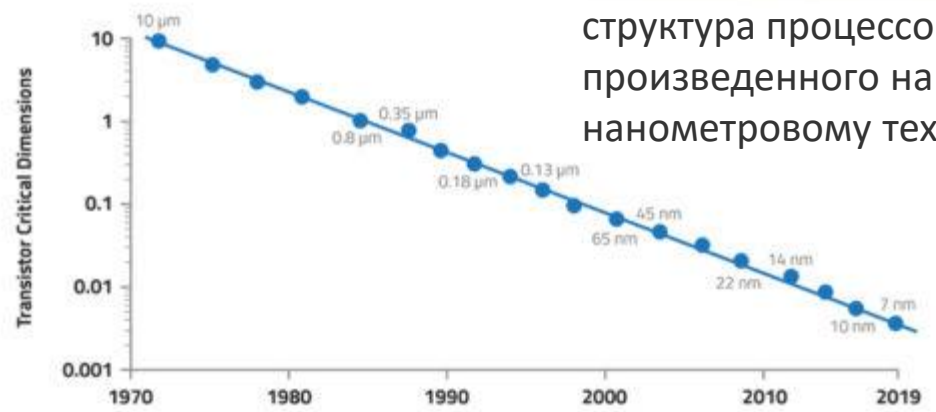
Planar MOSFET
1959 - 2010s



FinFET
2010s



Nanowire
2020s



1. Баллистическая термоупругость нелинейных цепочек

Уравнение движения и начальные условия

Уравнение движения частицы

$$m\dot{v}_n = F_n - F_{n-1},$$

$$F_n = \Pi'(a + \epsilon_n), \quad \epsilon_n = u_{n+1} - u_n,$$

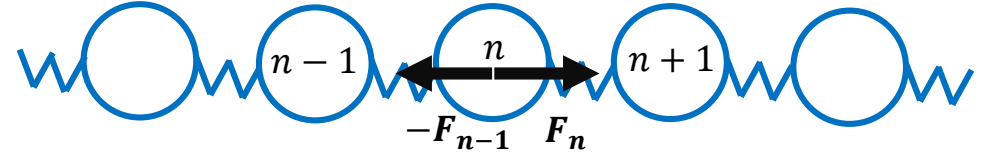
Периодические граничные условия

$$u_n = u_{n+N}$$

Начальные условия

$$u_n = 0, \quad v_n = \xi_n \sqrt{\frac{2k_B}{m} T_0(n)},$$

$$\langle \xi_n \rangle = 0, \quad \langle \xi_k \xi_n \rangle = \delta_{kn},$$



a – равновесное расстояние между частицами,
 u_n, v_n – перемещение и скорость частицы,
 $F(\epsilon)$ – сила взаимодействия между соседними частицами,
 $\Pi(\epsilon)$ – потенциал взаимодействия

ξ_n – некоррелированные случайные числа с нулевым математическим ожиданием и единичной дисперсией,
 δ_{kn} – дельта Кронекера,
 $T_0(n)$ – начальное распределение температуры по цепочке

Переход к макроскопическому описанию

Определение макроскопических перемещений

$$u(na, t) = \langle u_n \rangle$$

Определение кинетической температуры

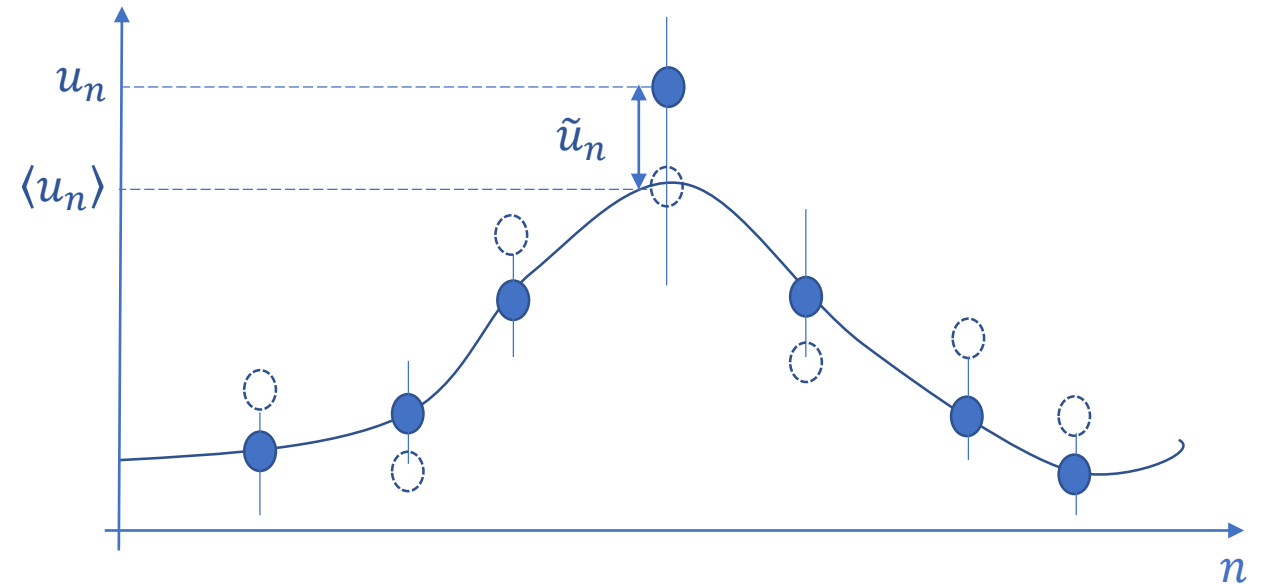
$$k_B T_n = m \langle \tilde{v}_n^2 \rangle,$$

$\langle \dots \rangle$ – математическое ожидание
(в моделировании – среднее по реализациям)

$\langle u_n \rangle$ – механическое перемещение,

\tilde{u}_n – тепловое перемещение,

$u_n = \langle u_n \rangle + \tilde{u}_n$ – полное перемещение.



k_B – постоянная Больцмана,

\tilde{v}_n – скорость теплового движения,

$\langle \dots \rangle$ – математическое ожидание.

Переход к макроскопическому описанию

Уравнение термоупругости

$$\dot{u} = c_s^2(u'' - \beta T'),$$

Уравнение баллистической теплопроводности

$$T = \frac{1}{2\pi} \int_0^{2\pi} T_0(x + v_g(p)t) dp,$$

Начальные условия

$$u(x, 0) = 0, \quad v(x, 0) = 0, \quad T(x, 0) = T_0(x).$$

Связь макро- и микропараметров

$$\rho = \frac{m}{a}, \quad C = \Pi''(a) = 72 \frac{D}{a^2}, \quad E = Ca,$$
$$c_s = a \sqrt{\frac{C}{m}}, \quad \beta = -\frac{\Gamma k_B}{Ea}, \quad \Gamma = -\frac{\Pi'''(a)}{a\Pi''(a)} = 10.5,$$

Для потенциала Леннарда-Джонса

$u(x, t)$ – поле перемещений, $T(x, t)$ – поле температуры, $T_0(x)$ – начальное поле температуры, v_g – групповая скорость цепочки, c_s – скорость звука, E – модуль Юнга, ρ – погонная плотность, β – коэффициент теплового расширения.

A.M. Krivtsov. Deformation and fracture of solids with microstructure, 2007.

Общее решение задачи баллистической термоупругости

(Для цепочки с взаимодействием ближайших соседей)

$$\ddot{u} = c_s^2(u'' - \beta T'),$$

$$T = \frac{1}{2\pi} \int_0^{2\pi} T_0(x + v_g(p)t) dp,$$

Начальная температура

$$T(0, x) = T_0(x)$$



Перемещения

$$u(x, t) = \frac{\beta c_s}{\pi} \int_{-t}^t T_0(x - c_s \tau) \frac{\tau}{\sqrt{t^2 - \tau^2}} d\tau.$$

$$u(x, t) = -\frac{\beta t}{2\pi} \int_0^{2\pi} v_g(p) T_0(x + v_g(p)t) dp,$$

$$v_g(p) = c_s \cos \frac{p}{2} \quad \text{— групповая скорость цепочки Гюка}$$

Перемещение пропорционально локальному тепловому потоку

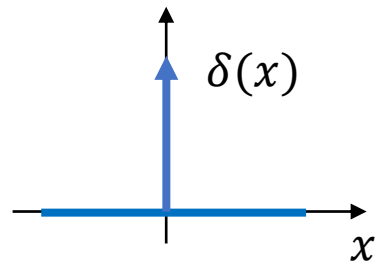
Фундаментальное решение

$$\ddot{u} = c_s^2(u'' - \beta T'),$$

$$T = \frac{1}{2\pi} \int_0^{2\pi} T_0(x + v_g(p)t) dp,$$

Начальная температура

$$T_0(x) = A\delta(x),$$



Перемещения

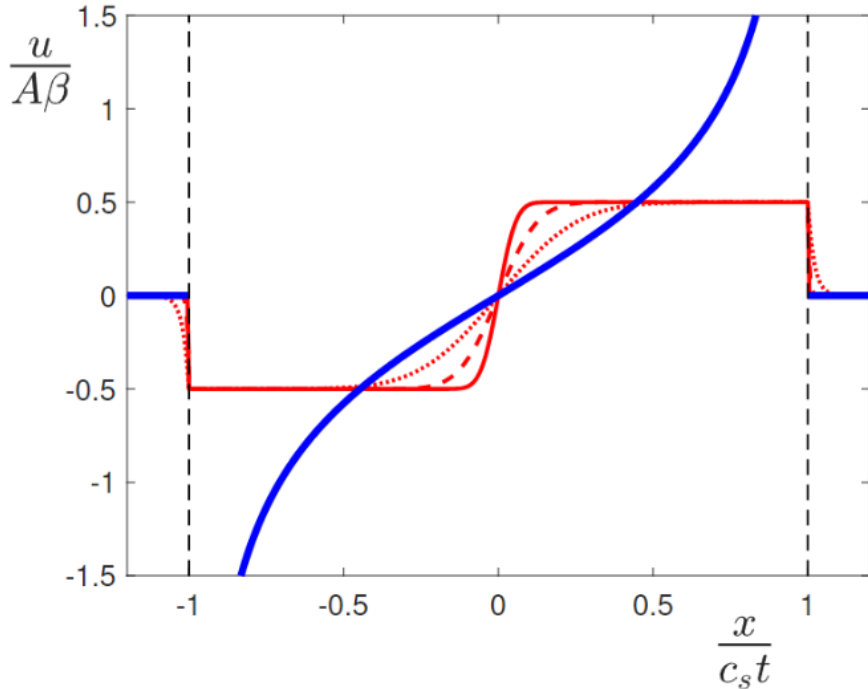
$$u(x/c_s t) = \begin{cases} \frac{A\beta}{\pi} \frac{x/c_s t}{\sqrt{1 - (x/c_s t)^2}}, & |x/c_s t| < 1, \\ 0, & |x/c_s t| \geq 1. \end{cases}$$

Деформации

$$\varepsilon(x/c_s t, t) = \begin{cases} \frac{A\beta}{\pi c_s t} \frac{1}{(1 - (x/c_s t)^2)^{3/2}}, & |x/c_s t| < 1, \\ 0, & |x/c_s t| \geq 1. \end{cases}$$

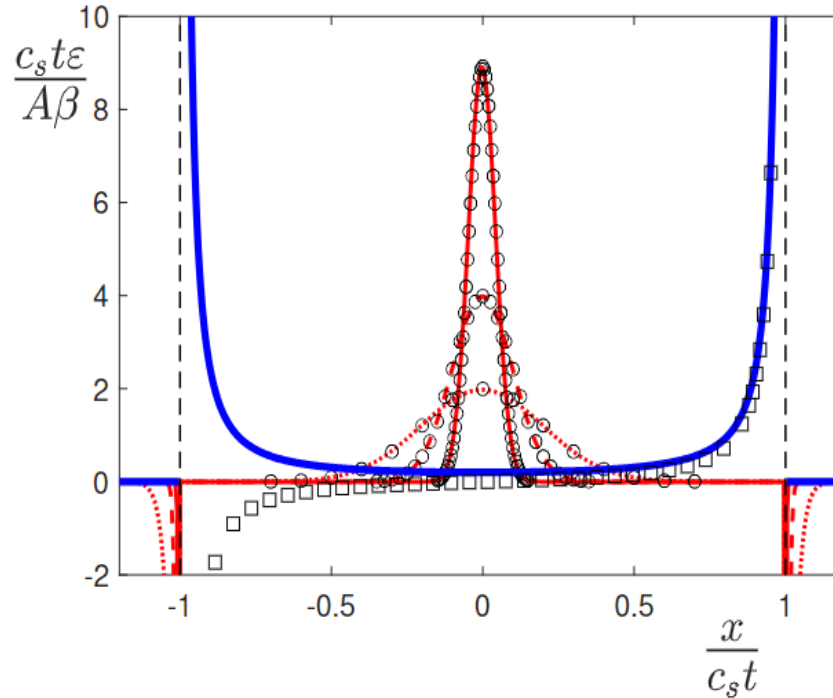
Фундаментальное решение

Перемещения



(a)

Деформации



(b)

- баллистика
- баллистика (статика) **
- ⋯ Фурье (динамика)* ($tc_s^2/\alpha^2 = 50$)
- - - Фурье (динамика) ($tc_s^2/\alpha^2 = 200$)
- Фурье (динамика) ($tc_s^2/\alpha^2 = 1000$)
- Фурье (статика) **

* задача термоупругости (Фурье)

$$\ddot{u} = c_s^2(u'' - \beta T'), \quad \dot{T} - \alpha^2 T'' = 0,$$

** статическая задача

$$\varepsilon_{\text{static}} = \beta T'$$

Для теплопроводности Фурье решения стационарной и нестационарной задач при большом времени совпадают, Для баллистической – качественно отличаются

Ступенчатое распределение температуры

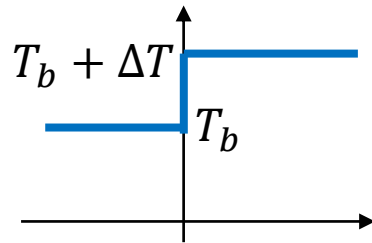
1. Ступенька. Континуальное решение

$$\ddot{u} = c_s^2(u'' - \beta T'),$$

$$T = \frac{1}{2\pi} \int_0^{2\pi} T_0(x + v_g(p)t) dp,$$

Начальная температура

$$T_0(x) = T_b + \Delta T H(x),$$



Перемещения

$$u(x/c_s t, t) = \begin{cases} -\frac{\Delta T \beta c_s t}{\pi} \sqrt{1 - (x/c_s t)^2}, & |x/c_s t| < 1, \\ 0, & |x/c_s t| \geq 1. \end{cases}$$

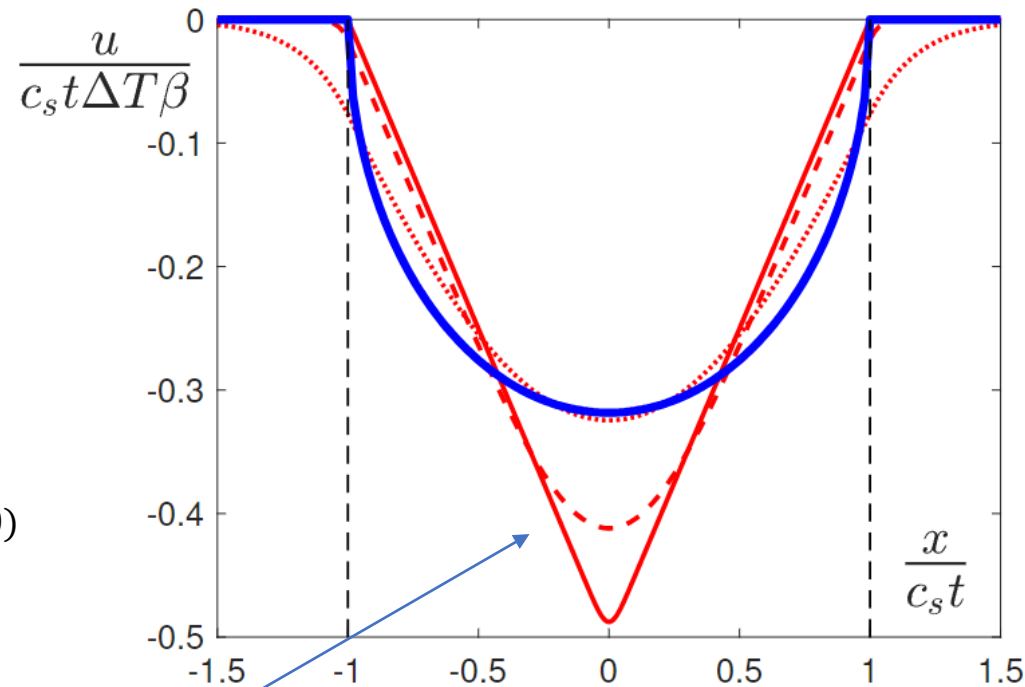
Деформации

$$\varepsilon(x/c_s t) = \begin{cases} \frac{\Delta T \beta}{\pi} \frac{x/c_s t}{\sqrt{1 - (x/c_s t)^2}}, & |x/c_s t| < 1, \\ 0, & |x/c_s t| \geq 1. \end{cases}$$

Бесконечные деформации на фронте!

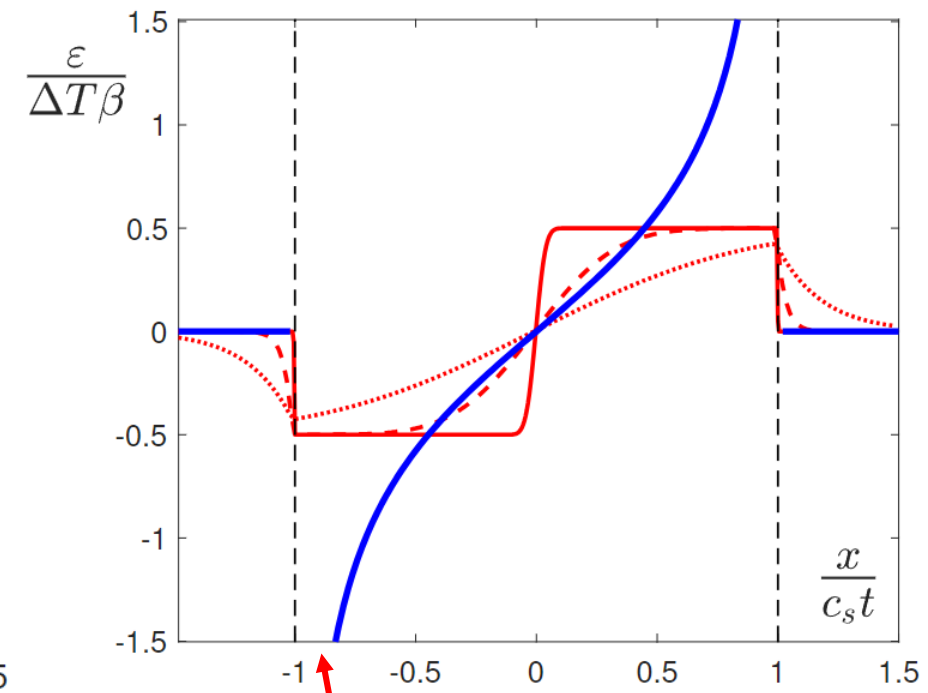
1. Ступенька. Континуальное решение

Перемещения



(a)

Деформации



(b)

- баллистика
- ⋯ Фурье ($tc_s^2/\alpha^2 = 5$)
- - - Фурье ($tc_s^2/\alpha^2 = 30$)
- Фурье ($tc_s^2/\alpha^2 = 2000$)

Струна под действием
сосредоточенной нагрузки



Бесконечные деформации на фронте!

2. Ступенька. Дискретное решение для температуры

$$\ddot{u} = c_s^2(u'' - \beta T'),$$

~~$$T = \frac{1}{2\pi} \int_0^{2\pi} T_0(x + v_g(p)t) dp,$$~~

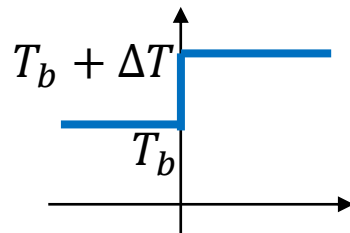
Дискретное решение для линейной цепочки

$$T_n(t) = T_b + \Delta T \sum_{k=-2n}^{+\infty} J_k^2(2\omega_0 t),$$

$$T(x, t) = T_b + \Delta T \int_{-2x/a}^{+\infty} J_y^2(2\omega_0 t) dy,$$

Начальная температура

$$T_0(x) = T_b + \Delta T H(x),$$



Деформации

$$\varepsilon(x, t) = -\frac{\beta}{2c_s} \int_0^t \left[T'(x + c_s(t - \tau), \tau) - T'(x - c_s(t - \tau), \tau) \right] d\tau,$$

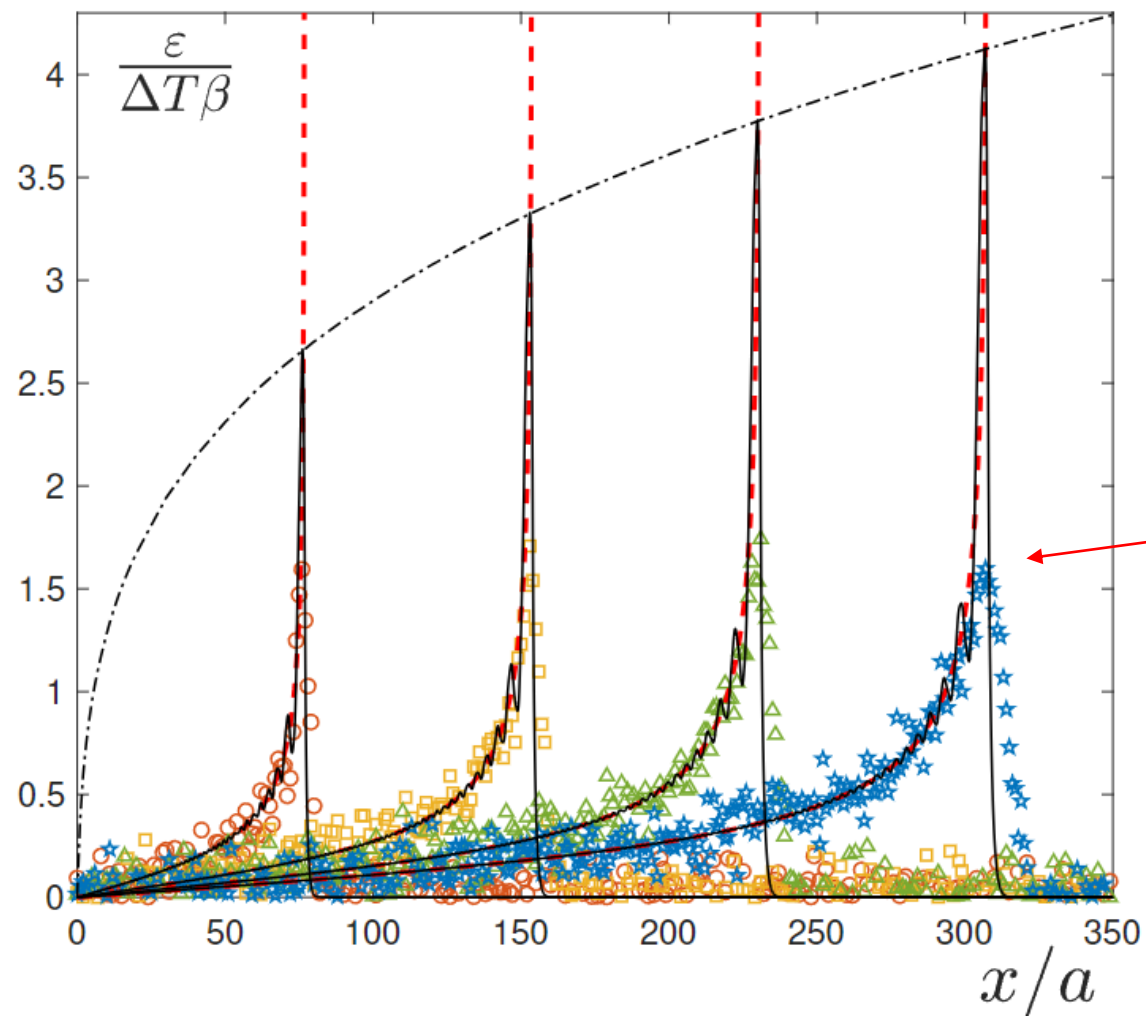
$$T'(x, t) = \frac{2\Delta T}{a} J_{2x/a}^2(2\omega_0 t).$$

$J_\nu(z)$ — функция Ангера:

$$J_\nu(z) = \int_0^\pi \cos(\nu\omega - z \sin \omega) d\omega.$$

2. Ступенька. Дискретное решение для температуры

Деформации



Неограниченный рост деформации на фронте

$$\varepsilon(c_s t, t) \sim t^{1/3}$$

Плохое совпадение на фронте

Максимальная деформация в эксперименте выходит на постоянное значение

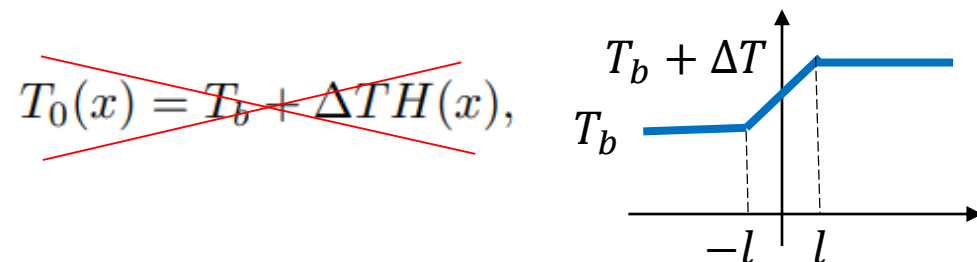
3. Ступенька. Влияние наклона

$$\ddot{u} = c_s^2(u'' - \beta T'),$$

$$T = \frac{1}{2\pi} \int_0^{2\pi} T_0(x + v_g(p)t) dp,$$

Начальная температура

$$T_0(x) = \begin{cases} T_b, & x \leq -l, \\ T_b + \frac{\Delta T}{2} \left(1 + \frac{x}{l}\right), & -l < x < l, \\ T_b + \Delta T, & x \geq l, \end{cases}$$



Деформации

при $x > 0, t < l/c_s$

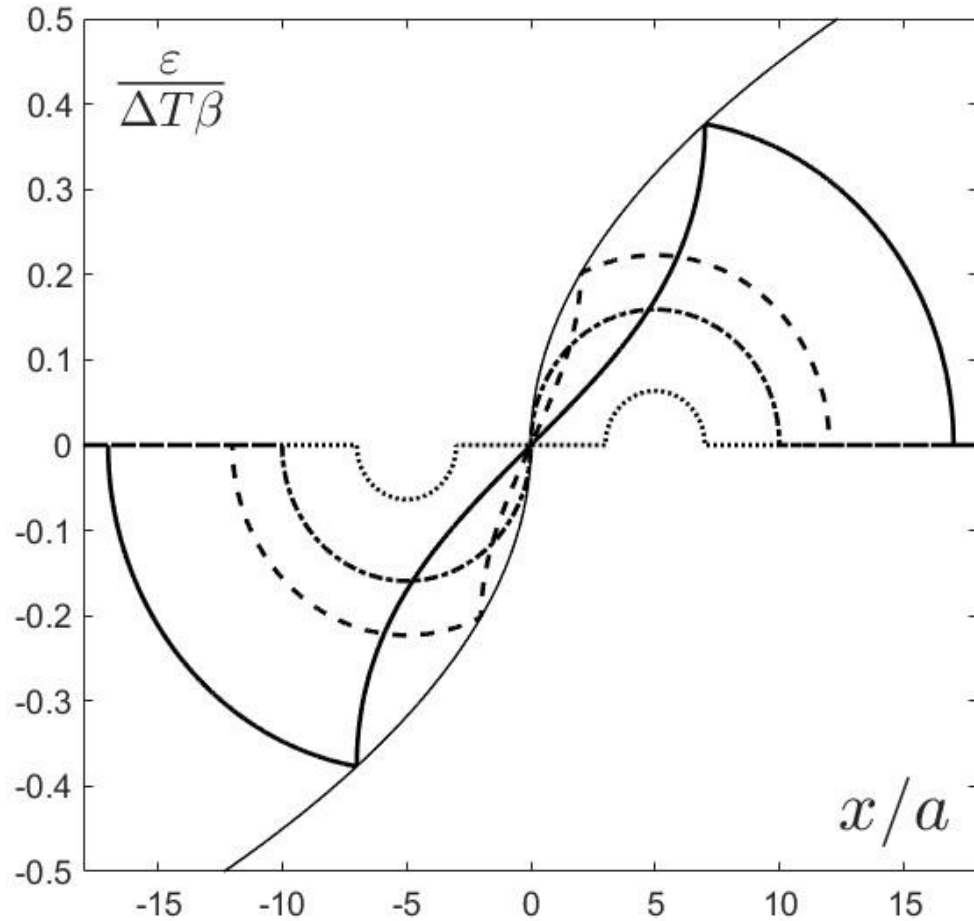
$$\varepsilon(x, t) = \begin{cases} \frac{\Delta T \beta c_s t}{2\pi l} \sqrt{1 - \left(\frac{x-l}{c_s t}\right)^2}, & |x-l| < c_s t, \\ 0, & |x-l| \geq c_s t, \end{cases}$$

при $x > 0, t > l/c_s$:

$$\varepsilon(x, t) = \begin{cases} \frac{\Delta T \beta c_s t}{2\pi l} \left[\sqrt{1 - \left(\frac{x-l}{c_s t}\right)^2} - \sqrt{1 - \left(\frac{x+l}{c_s t}\right)^2} \right], & x \leq c_s t - l, \\ \frac{\Delta T \beta c_s t}{2\pi l} \sqrt{1 - \left(\frac{x-l}{c_s t}\right)^2}, & c_s t - l < x < c_s t + l, \\ 0, & x \geq c_s t + l. \end{cases}$$

3. Ступенька. Влияние наклона

Деформации ($l/a = 5$)

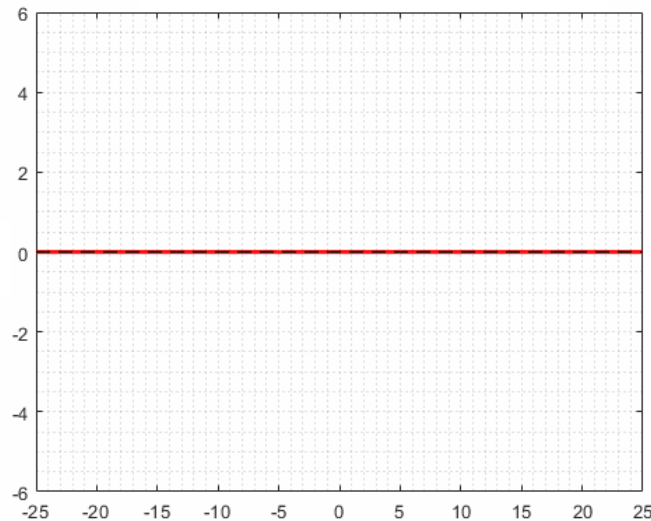


Огибающая для максимумов

$$\varepsilon_e(x) = \frac{\beta \Delta T}{\pi \sqrt{l}} \sqrt{x}.$$

Зависимость максимальной деформации от времени

$$\varepsilon(c_s t - l, t) = \frac{\beta \Delta T}{\pi \sqrt{l}} \sqrt{c_s t - l}.$$

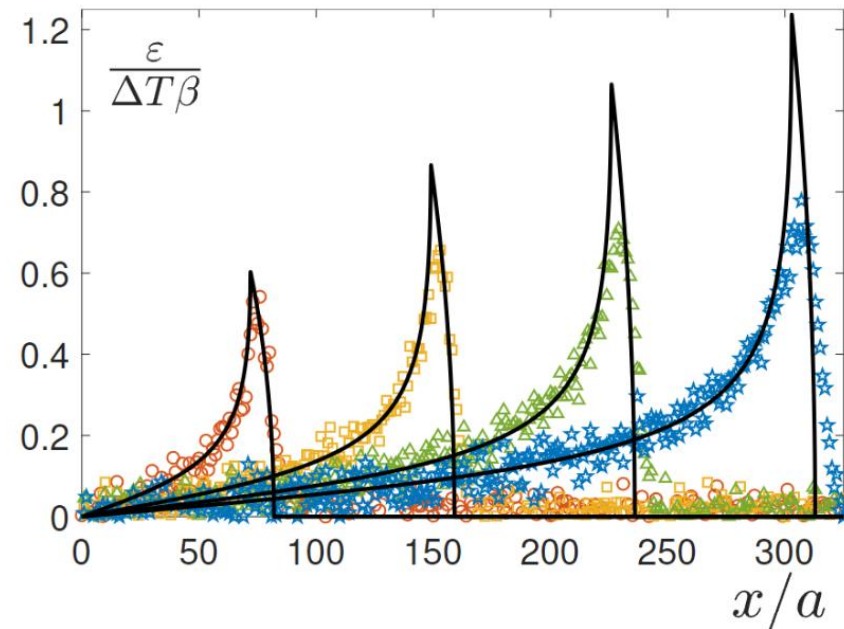


Рост максимальной деформации

$$\varepsilon_{\max} \sim \sqrt{t}$$

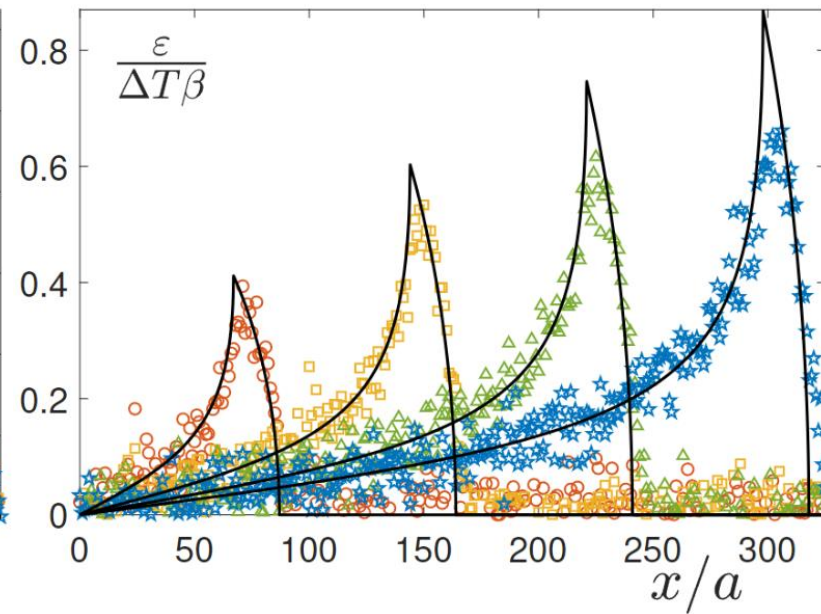
«Наклонная» ступенька. Сравнение с численным моделированием

$l/a = 5$



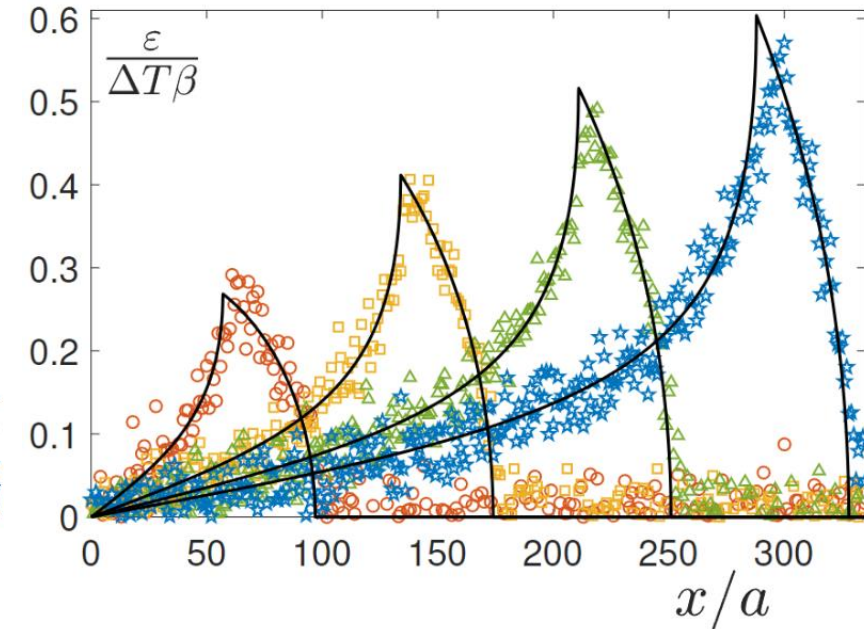
(a)

$l/a = 10$



(b)

$l/a = 20$



(c)

Показаны моменты времени $\omega_0 t = 77$ (красные круги), $\omega_0 t = 154$ (желтые крестики), $\omega_0 t = 231$ (зеленые квадраты), $\omega_0 t = 308$ (синие треугольники). Черными сплошными линиями показаны соответствующие аналитические решения.

Синусоидальное распределение температуры

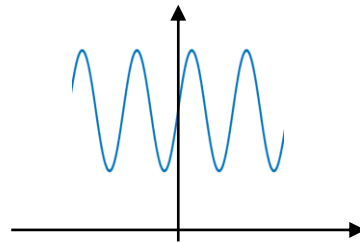
Баллистический резонанс в цепочке Леннарда-Джонса

$$\ddot{u} = c_s^2(u'' - \beta T'),$$

$$T = \frac{1}{2\pi} \int_0^{2\pi} T_0(x + v_g(p)t) dp,$$

Начальная температура

$$T_0(x) = T_b + \Delta T \sin qx$$



Перемещения

$$u(x, t) = z(t) \cos qx, \quad z(t) = -\frac{\beta \Delta T}{q} \omega t J_1(\omega t).$$

асимптотика ($\omega t \rightarrow \infty$)

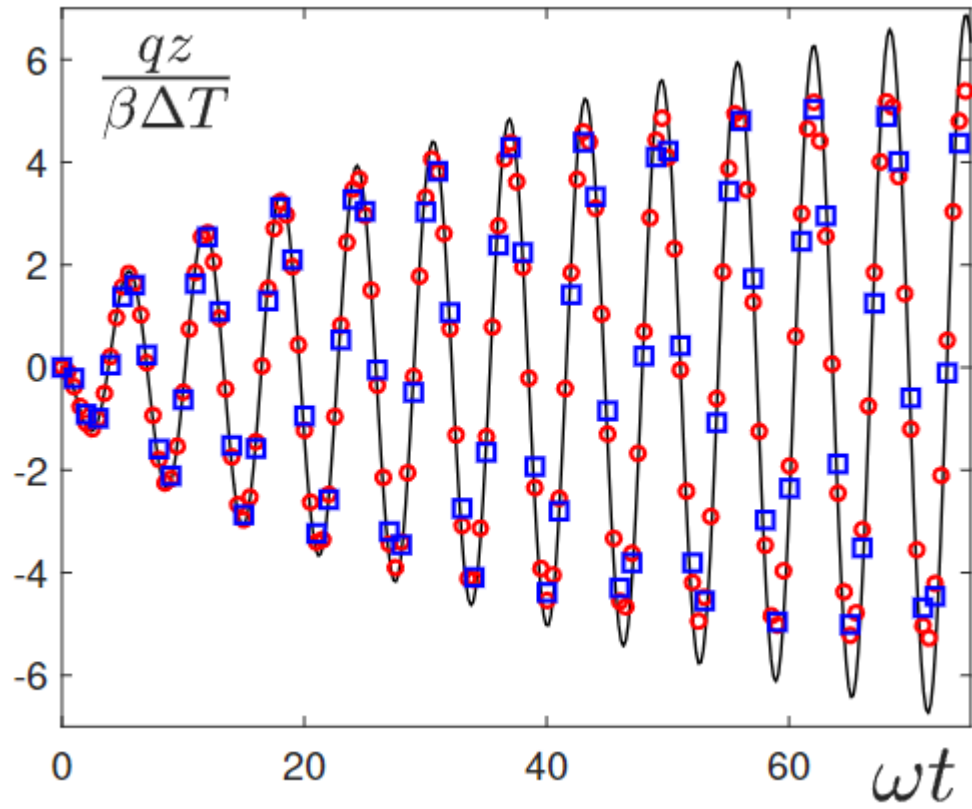
$$z(t) \approx -\sqrt{\frac{2}{\pi}} \frac{\beta \Delta T}{q} \sqrt{\omega t} \cos(\omega t - 3\pi/4).$$

Vitaly A. Kuzkin and Anton M. Krivtsov, Ballistic resonance and thermalization in the Fermi-Pasta-Ulam-Tsingou chain at finite temperature, Physical Review, E 101, 042209 (2020)

1. Влияние потенциала взаимодействия.

Сравнение результатов для цепочек Леннарда-Джонса и α -FPU

Амплитуда перемещений



- *аналитика*
- *LJ*
- *α -FPU*

Потенциал α -FPU

$$\Pi(r) = C (r - a) + \alpha (r - a)^3$$

Потенциал Леннарда-Джонса

$$\Pi(r) = D \left[\left(\frac{a}{r} \right)^{12} - \left(\frac{a}{r} \right)^6 \right],$$

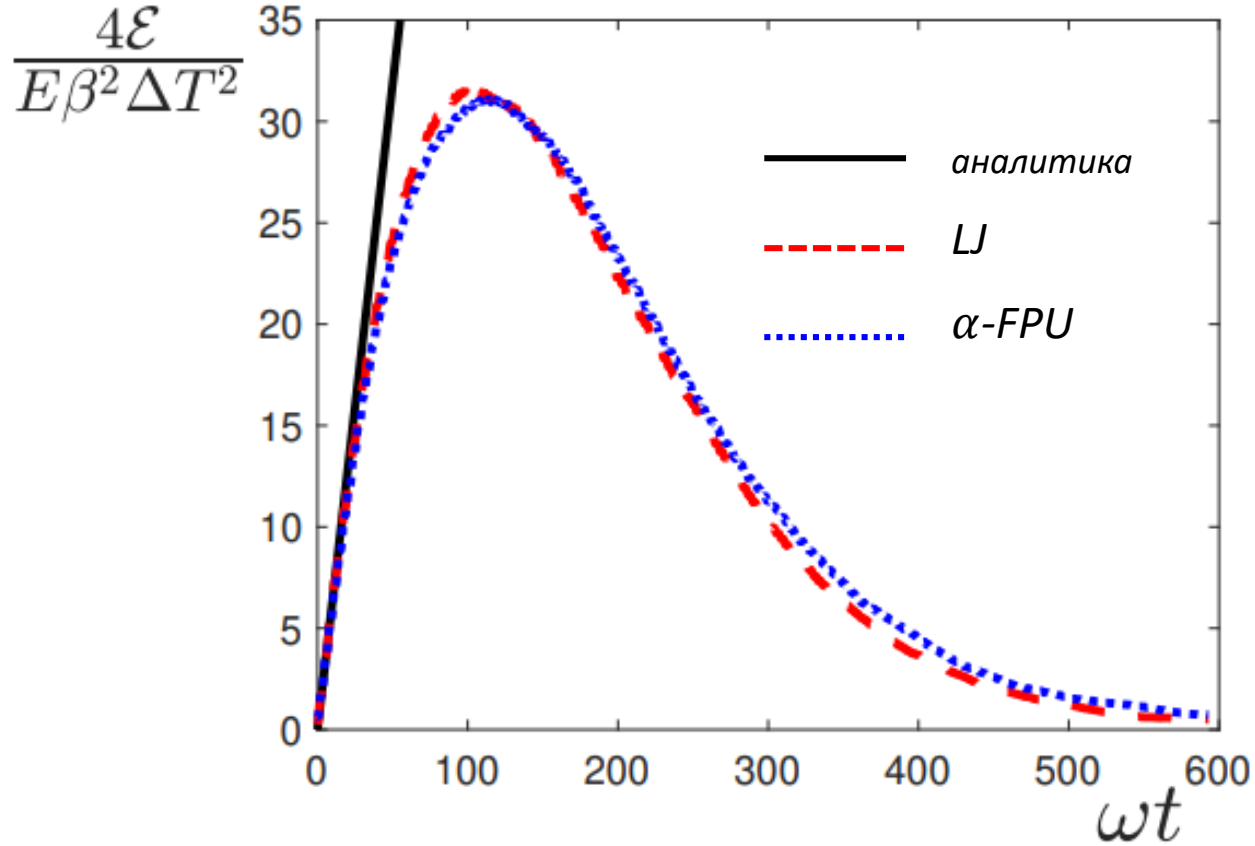
Условие одинаковой нелинейности цепочек

$$\frac{\Delta T^{(\alpha)}}{T_b^{(\alpha)}} = \frac{\Delta T^{(LJ)}}{T_b^{(LJ)}}, \quad \frac{\alpha a}{C} \sqrt{\frac{k_B T_b^{(\alpha)}}{C a^2}} = -\frac{7}{4\sqrt{2}} \sqrt{\frac{k_B T_b^{(LJ)}}{D}}.$$

1. Влияние потенциала взаимодействия.

Сравнение результатов для цепочек Леннарда-Джонса и α -FPU

Механическая энергия



$$\mathcal{E} = \frac{1}{2L} \int_0^L (\rho v^2 + E u'^2) dx = \mathcal{E}_* \omega^2 t^2 (J_0^2 + J_1^2),$$

асимптотика ($\omega t \rightarrow \infty$)

$$\mathcal{E}(t) = 2\mathcal{E}_* \omega t / \pi,$$

линейный рост механической энергии

$L = 2\pi/q$ — длина волны, ρ — плотность,
 $\mathcal{E}_* = E\beta^2\Delta T^2/4$, E — модуль Юнга
 J_0, J_1 — функции Бесселя

При теплопроводности Фурье

$$\mathcal{E}(\infty) = \frac{E\beta^2\Delta T^2}{4(q^2\alpha^4/c_s^2 + 1)}.$$

Рост механической энергии ограничен

2. Влияние ограниченности синуса

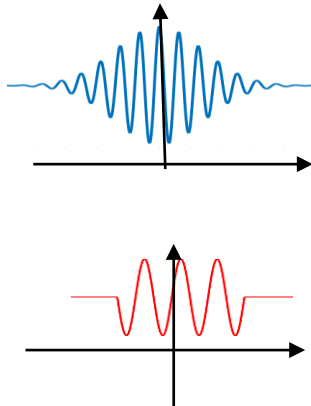
$$\ddot{u} = c_s^2(u'' - \beta T'),$$

$$T = \frac{1}{2\pi} \int_0^{2\pi} T_0(x + v_g(p)t) dp,$$

Начальная температура

$$T_0(x) = T_b + A(x) \cos(qx),$$

где $A(x)$ — медленно меняющаяся амплитуда.



Приближенное решение для перемещений
($\omega t \rightarrow \infty$)

$$u(x, t) \approx \frac{1}{\sqrt{2\pi}} \frac{\beta}{q} \sqrt{\omega t} \left[A(x - c_s t) \cos(qx - \omega t + \pi/4) - A(x + c_s t) \cos(qx + \omega t - \pi/4) \right],$$

Приближенное решение для температуры
($\omega t \rightarrow \infty$)

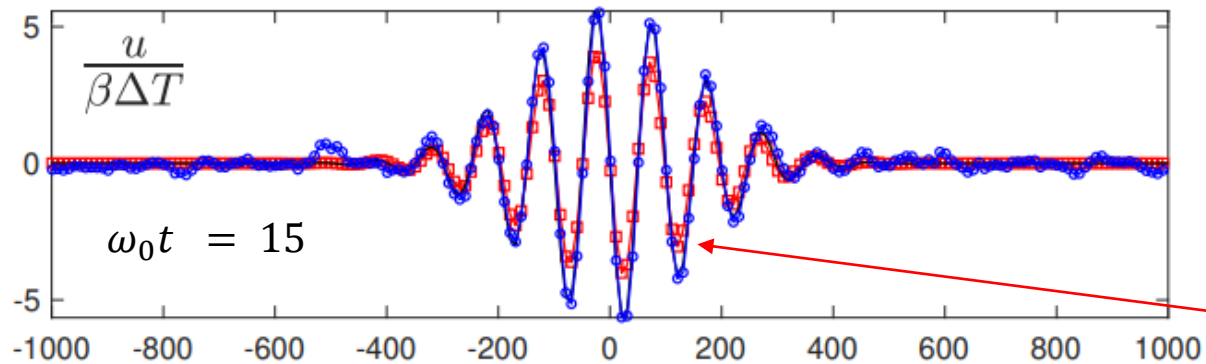
$$T(x, t) \approx T_b + \frac{1}{\sqrt{2\pi\omega t}} \left[A(x + c_s t) \sin\left(qx + \omega t + \frac{\pi}{4}\right) - A(x - c_s t) \sin\left(qx - \omega t - \frac{\pi}{4}\right) \right].$$

$$\omega = q c_s$$

Перемещения

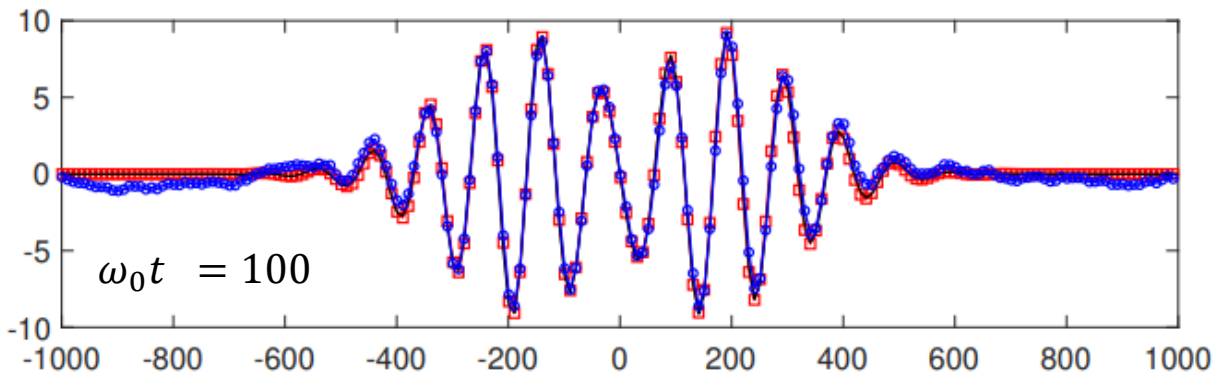
Начальная температура

$$T_0(x) = T_b + \Delta T e^{-\frac{x^2}{2\sigma^2}} \cos qx$$

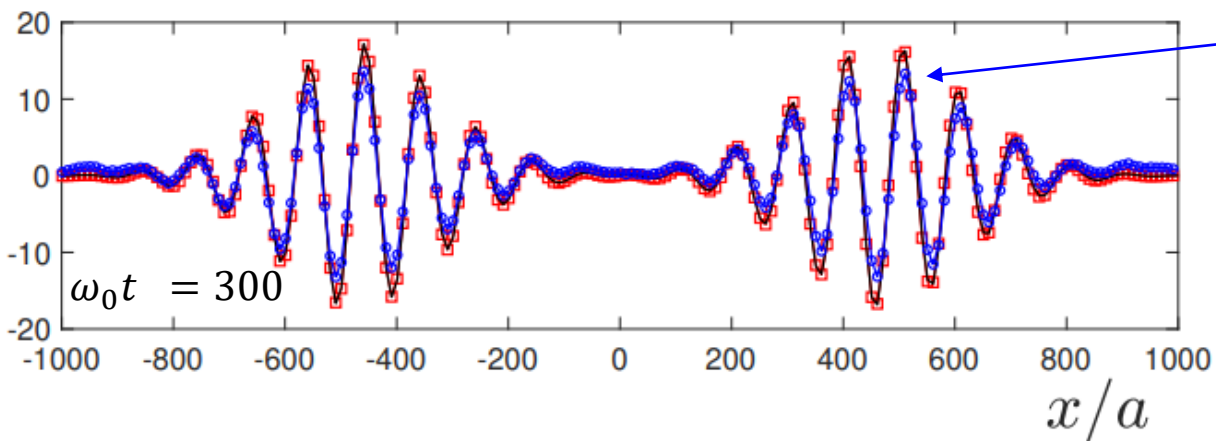


- точное решение
- приближенное
- моделирование

Точное решение совпадает с моделированием, приближенное отличается



Все совпадает

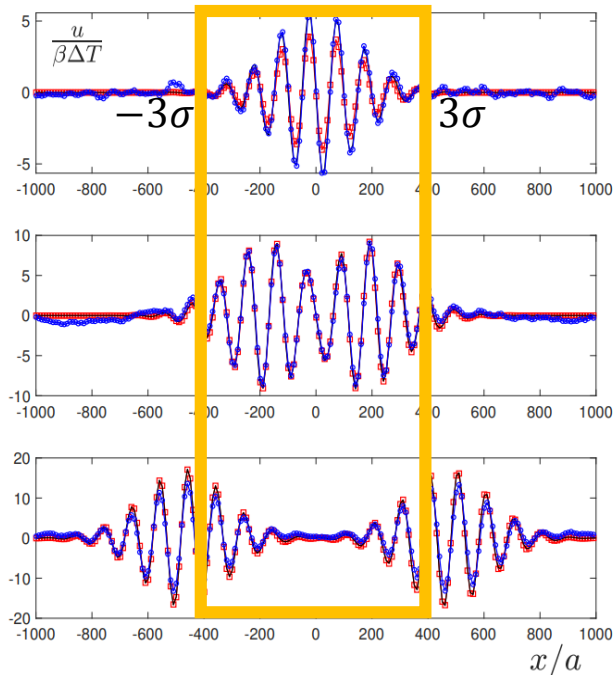


Точное и приближенное совпадают, эксперимент отличается из-за влияния нелинейности и обратного перехода механической энергии в тепловую

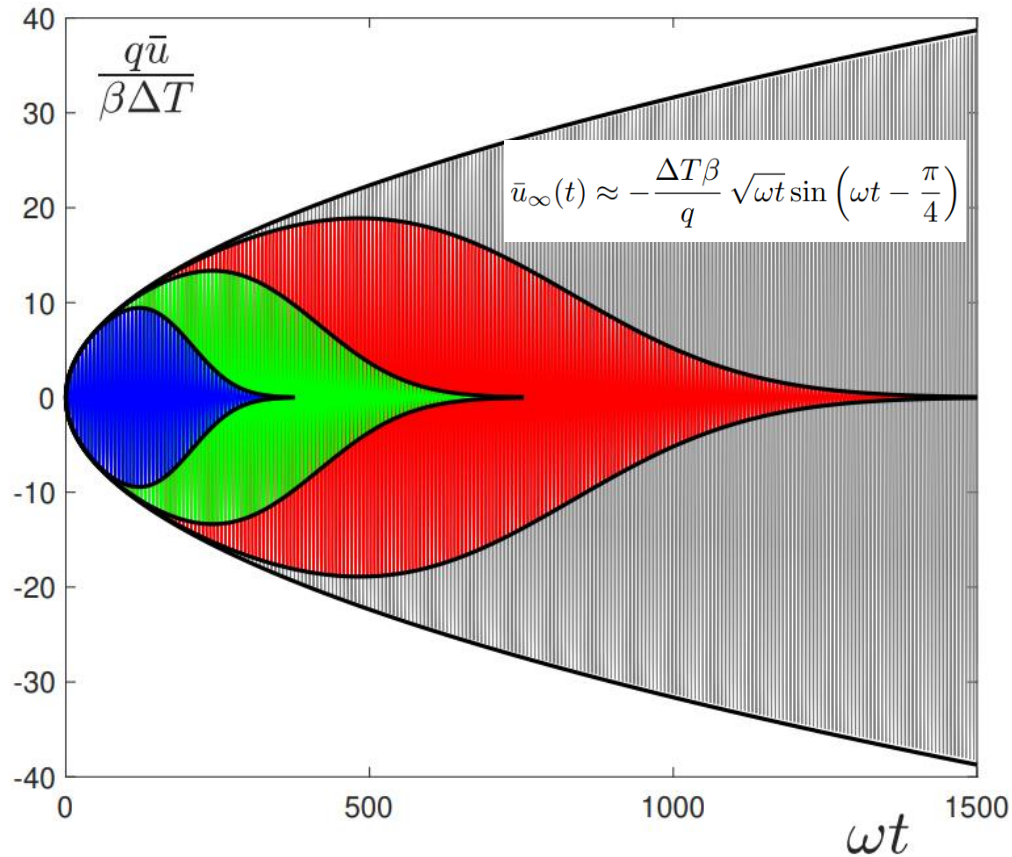
Будет ли баллистический резонанс при ограниченном синусе?

«Средняя амплитуда перемещений»
в области начального возмущения

$$\bar{u}(t) = \frac{1}{\sigma} \int_{-3\sigma}^{3\sigma} u(x, t) \cos(qx) dx.$$



$$\bar{u}(t) = -\frac{\Delta T \beta}{2q} \sqrt{\omega t} \left[\operatorname{erf} \left(\frac{3}{\sqrt{2}} - \frac{\omega t}{q\sigma} \right) + \operatorname{erf} \left(\frac{3}{\sqrt{2}} + \frac{\omega t}{q\sigma} \right) \right] \sin \left(\omega t - \frac{\pi}{4} \right)$$



- $\sigma/\lambda = 10$
- $\sigma/\lambda = 20$
- $\sigma/\lambda = 40$
- $\sigma/\lambda \rightarrow \infty$

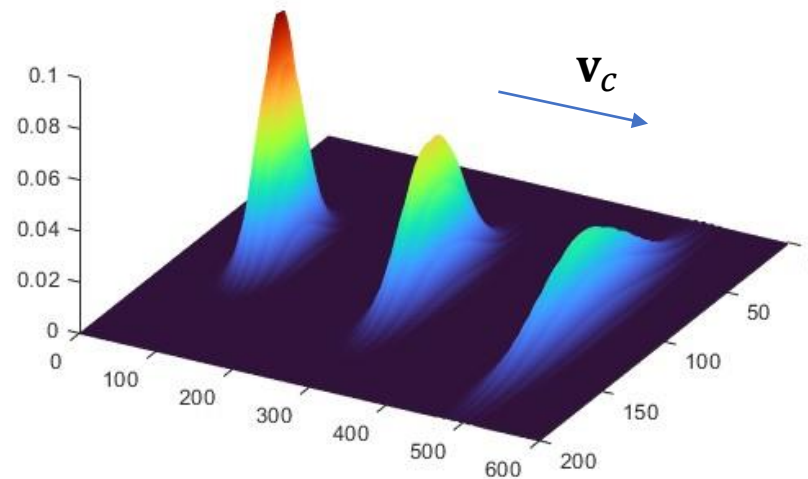
$\lambda = 2\pi/q$ —
длина волны синуса
 $\omega = qc_s$

Сначала амплитуда растёт,
затем убывает
из-за разбегания волн

2. Дисперсия энергии при движении локализованного возмущения

Цель

- Описать изменение формы энергетического возмущения, движущегося в упругой среде (не решая уравнения динамики среды)



A.M. Krivtsov, Dynamics of matter and energy, Z Angew Math Mech. e202100496 (2022)

J.A. Baimova, N.M. Bessonov, A.M. Krivtsov, Motion of localized disturbances in scalar harmonic lattices, Phys. rev. E (2023)

Уравнение движения

Дискретная среда

$$m \frac{d^2 u}{dt^2} = \sum_{\alpha} C_{\alpha} \left(u(\mathbf{r} + \mathbf{a}_{\alpha}) - u(\mathbf{r}) \right),$$

Континуальная среда

$$\rho \ddot{u} = \mathbf{C} \cdot \cdot \nabla \nabla u,$$

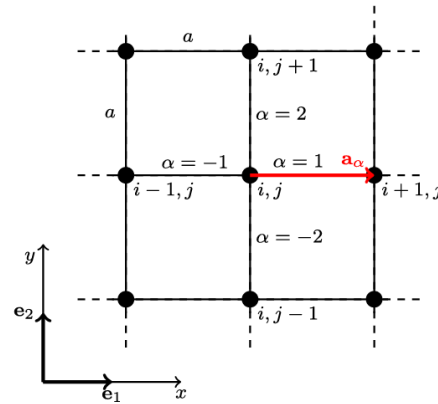
\mathbf{C} — тензор жесткости, ρ — плотность среды.

Локальная и удельная энергия

$$\epsilon(\mathbf{r}) \stackrel{\text{def}}{=} \frac{m}{2} v^2(\mathbf{r}) + \frac{1}{4} \sum_{\alpha} C_{\alpha} \left(u(\mathbf{r} + \mathbf{a}_{\alpha}) - u(\mathbf{r}) \right)^2$$

$$\epsilon \stackrel{\text{def}}{=} \frac{1}{2} \left(\rho \dot{u}^2 + \nabla u \cdot \mathbf{C} \cdot \nabla u \right)$$

Энергия, соответствующая узлу
решетки



Энергия, приходящаяся на единицу
пространственного объема

J.A. Baimova, N.M. Bessonov, A.M. Krivtsov, Motion of localized disturbances in scalar harmonic lattices, Phys. rev. E (2023)

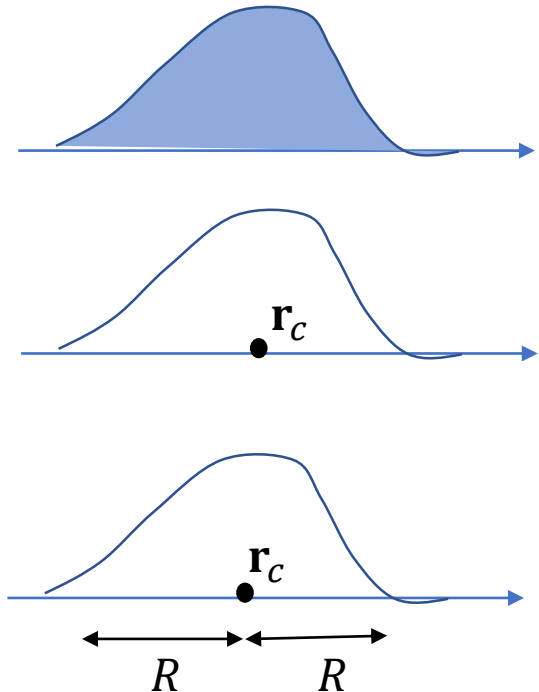
Глобальные энергетические характеристики

энергия	поток энергии	суперпоток энергии
$E \stackrel{\text{def}}{=} M,$	$\mathbf{h} \stackrel{\text{def}}{=} \frac{d\mathbf{M}_1}{dt},$	$\mathbf{G} \stackrel{\text{def}}{=} \frac{1}{2} \frac{d^2\mathbf{M}_2}{dt^2},$

$$\epsilon = -\nabla \cdot \mathbf{h}$$
$$\mathbf{h} = -\nabla \cdot \mathbf{g}$$

Дискретная среда

$$M \stackrel{\text{def}}{=} \sum_{\mathbf{r}} \epsilon(\mathbf{r}),$$
$$\mathbf{M}_1 \stackrel{\text{def}}{=} \sum_{\mathbf{r}} \mathbf{r} \epsilon(\mathbf{r}),$$
$$\mathbf{M}_2 \stackrel{\text{def}}{=} \sum_{\mathbf{r}} \mathbf{r} \mathbf{r} \epsilon(\mathbf{r}),$$

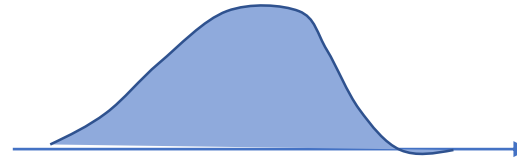


Континуальная среда

$$M \stackrel{\text{def}}{=} \int_{\mathbf{r}} \epsilon(\mathbf{r}) dV(\mathbf{r}),$$
$$\mathbf{M}_1 \stackrel{\text{def}}{=} \int_{\mathbf{r}} \mathbf{r} \epsilon(\mathbf{r}) dV(\mathbf{r}),$$
$$\mathbf{M}_2 \stackrel{\text{def}}{=} \int_{\mathbf{r}} \mathbf{r} \mathbf{r} \epsilon(\mathbf{r}) dV(\mathbf{r}),$$

Энергия

$$E = \text{const}$$

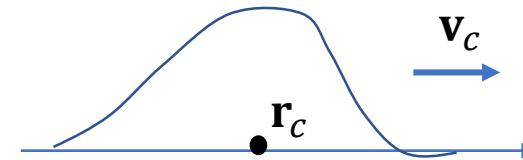


Энергетический центр и его скорость

$$\mathbf{h} = \text{const}$$

$$\mathbf{r}_c \stackrel{\text{def}}{=} \frac{\mathbf{M}_1}{E}, \quad \mathbf{v}_c \stackrel{\text{def}}{=} \frac{\mathbf{h}}{E}.$$

$$\mathbf{h} = \text{const}, \quad \Rightarrow \quad \mathbf{r}_c = \overset{\circ}{\mathbf{r}}_c + \mathbf{v}_c t,$$



Энергетический центр движется с постоянной скоростью

Суперпоток энергии

В 1D* $\mathbf{G} = \text{const}$

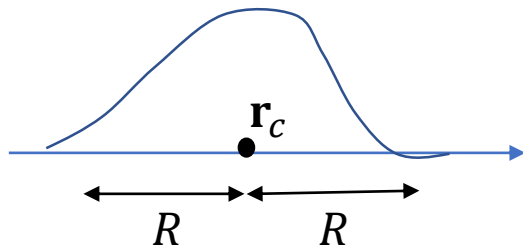
Центральный суперпоток

$$\mathbf{G}_c \stackrel{\text{def}}{=} \frac{1}{2} \frac{d^2 \mathbf{M}_c}{dt^2}$$

Центральный момент

$$\mathbf{M}_c \stackrel{\text{def}}{=} \sum_{\mathbf{r}} (\mathbf{r} - \mathbf{r}_c)(\mathbf{r} - \mathbf{r}_c) \epsilon(\mathbf{r}),$$

$$\mathbf{M}_c \stackrel{\text{def}}{=} \int_{\mathbf{r}} (\mathbf{r} - \mathbf{r}_c)(\mathbf{r} - \mathbf{r}_c) \epsilon(\mathbf{r}) dV(\mathbf{r})$$

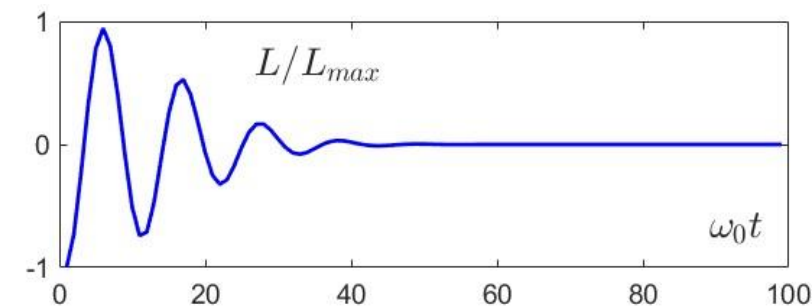
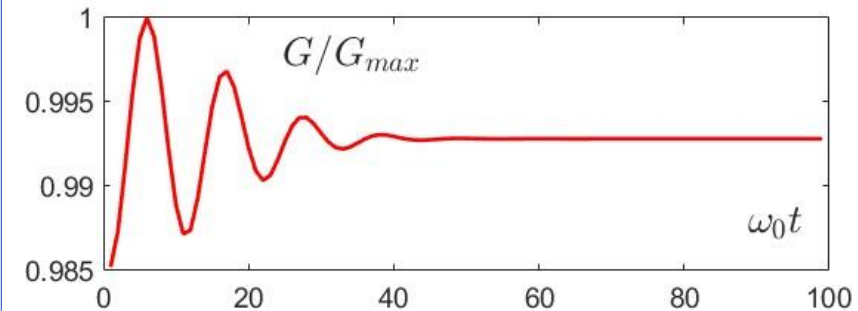


Связь с суперпотоком и потоком

$$\mathbf{G}_c = \mathbf{G} - \frac{\hbar \hbar}{E}$$

В общем случае

$$\mathbf{G} \neq \text{const}$$



Эллипс энергии

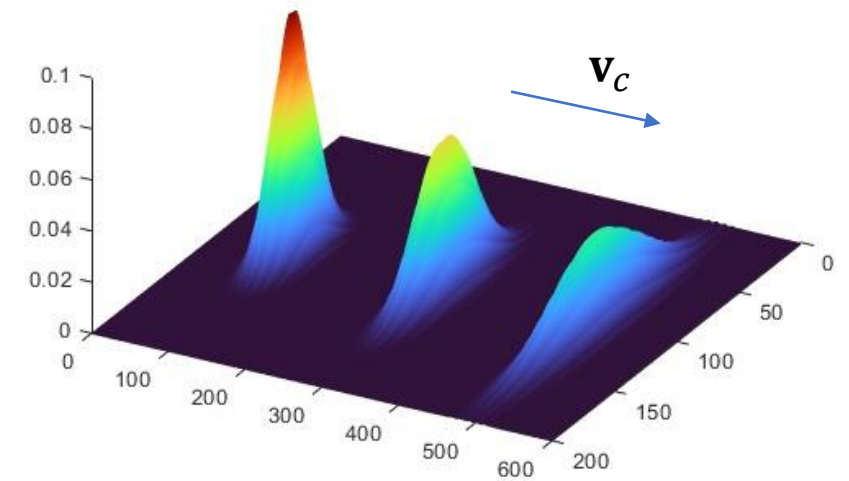
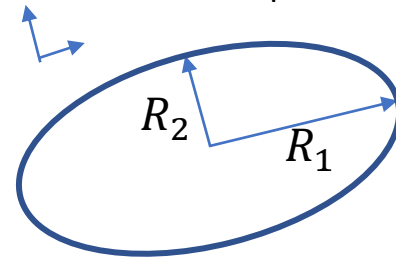
Энергетические радиусы

$$R_i \stackrel{\text{def}}{=} \sqrt{\lambda_i},$$

где λ_i — собственные числа тензора

$$\Lambda \stackrel{\text{def}}{=} \frac{\mathbf{M}_c}{E}$$

Направление осей определяется собственными векторами Λ



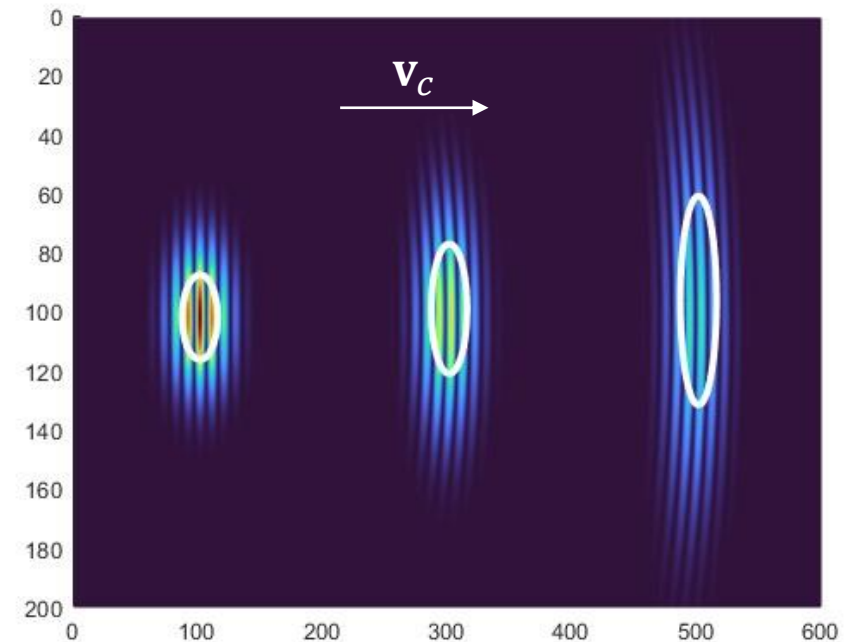
$$\mathbf{G}_c = \text{const}$$

$$\mathbf{G}_c \stackrel{\text{def}}{=} \frac{1}{2} \frac{d^2 \mathbf{M}_c}{dt^2}$$

$$\Rightarrow \Lambda = \frac{\mathbf{G}_c t^2 + \dot{\mathbf{M}}_0 t + \mathbf{M}_0}{E}$$

$$\mathbf{M}_0, \dot{\mathbf{M}}_0$$

Начальные значения центрального момента и его производной



Выражения через скорости и перемещения точек среды

$$\mathbf{h} = \frac{1}{2} \sum_{\mathbf{r}, \alpha} \mathbf{a}_\alpha C_\alpha u(\mathbf{r}) v(\mathbf{r} + \mathbf{a}_\alpha)$$

$$\mathbf{G} = \frac{1}{2} \sum_{\mathbf{r}, \alpha} \frac{C_\alpha}{m} \mathbf{a}_\alpha \mathbf{a}_\alpha (\kappa(\mathbf{r}) - \pi(\mathbf{r})) +$$
$$+ \frac{1}{4} \sum_{\mathbf{r}, \alpha, \beta} \frac{C_\alpha C_\beta}{m} \mathbf{a}_\alpha \mathbf{a}_\beta u(\mathbf{r} + \mathbf{a}_\alpha) u(\mathbf{r} + \mathbf{a}_\beta).$$

$$\kappa(\mathbf{r}) = \frac{1}{2} m v^2(\mathbf{r}),$$

$$\pi(\mathbf{r}) = \frac{1}{4} \sum_{\alpha} C_\alpha (u(\mathbf{r} + \mathbf{a}_\alpha) - u(\mathbf{r}))^2$$

$$\mathbf{h} = \mathbf{C} \cdot \int_{\mathbf{r}} v \nabla u \, dV(\mathbf{r})$$

$$\mathbf{G} = \frac{1}{\rho} \int_{\mathbf{r}} \left((\mathbf{C} \cdot \nabla u)(\mathbf{C} \cdot \nabla u) + \mathbf{C} (\kappa(\mathbf{r}) - \pi(\mathbf{r})) \right) dV(\mathbf{r})$$

$$\kappa(\mathbf{r}) = \frac{1}{2} \rho v^2,$$

$$\pi(\mathbf{r}) = \frac{1}{2} (\nabla u \cdot \mathbf{C} \cdot \nabla u)$$

Пример: волновой пакет в изотропной континуальной среде

Предполагаем, что решение имеет вид

$$u(\mathbf{r}, t) \approx A(|\mathbf{r} - \mathbf{v}_g t|) \sin(\mathbf{k} \cdot \mathbf{r} - \omega t)$$



Начальные условия

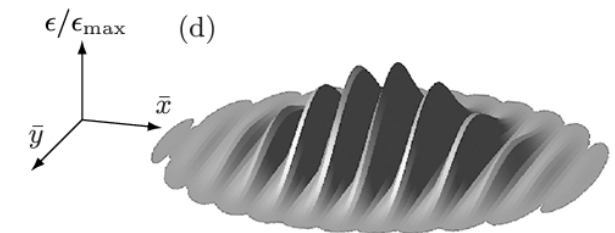
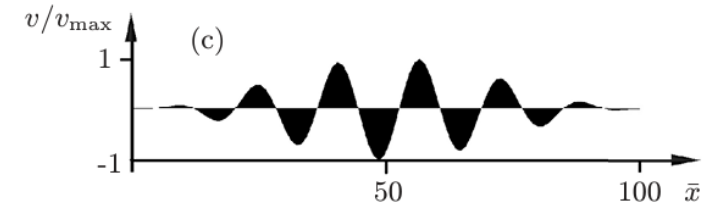
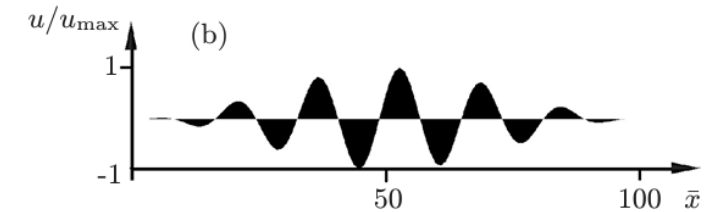
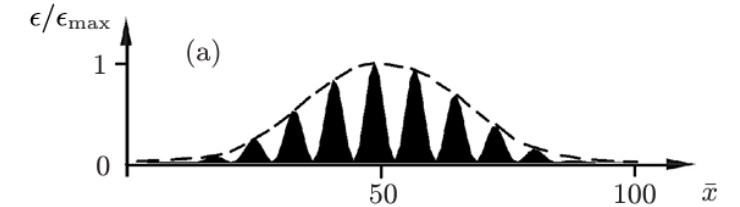
$$u(\mathbf{r}, 0) = A(r) \sin \theta,$$

$$v(\mathbf{r}, 0) = -A(r)\omega \cos \theta - \nabla A(r) \cdot \mathbf{v}_g \sin \theta, \quad \theta = \mathbf{k} \cdot \mathbf{r}.$$

\mathbf{k} — волновой вектор,
 $\mathbf{v}_g = c\mathbf{k}/k$ — групповая скорость,
 $\omega = ck$ — частота,
 $c = \sqrt{C/\rho}$ — скорость звука в среде

Дальше используются предположения:

- Размер огибающей много больше длины волны
- Начальная огибающая зависит только от модуля радиуса-вектора
- $A(r, t)$ — медленно меняющаяся функция времени и координаты
- $\int f(r) \sin^2 \theta dV(r), \int f(r) \cos^2 \theta dV(r) \longrightarrow \frac{1}{2} \int f(r) dV(r),$
- $\int f(r) \sin \theta \cos \theta dV(r) \longrightarrow 0$



Волновой пакет в изотропной континуальной среде

Энергию и поток вычисляем по начальным условиям

$$E = \frac{C}{2} \int_{\mathbf{r}} (Ak)^2 dV(\mathbf{r}) + \frac{C(d+1)}{4d} \int_{\mathbf{r}} (\nabla A)^2 dV(\mathbf{r})$$

$$\mathbf{h} = cE\mathbf{i} - \frac{cC(d-1)}{4d} \int_{\mathbf{r}} (\nabla A)^2 dV(\mathbf{r}) \mathbf{i}$$

d — размерность пространства

A — начальная огибающая

$$\mathbf{i} = \mathbf{k}/k$$

Суперпоток вычисляем в момент времени t^* , когда лагранжиан уже равен нулю. Но предполагаем, что $A(r, t^*) \approx A(r, 0) = A$.

$$\mathbf{G} = c^2 E \mathbf{i} \mathbf{i} + \frac{Cc^2}{4d} \int_{\mathbf{r}} (\nabla A)^2 dV(\mathbf{r}) (\mathbf{E} - d \mathbf{i} \mathbf{i})$$

$$\mathbf{G}_c = G_c (\mathbf{E} - \mathbf{i} \mathbf{i}), \quad G_c = \frac{c^2 C}{2d} \int_{\mathbf{r}} (\nabla A)^2 dV(\mathbf{r}).$$

Начальные значения центрального момента и его производной

$$\mathbf{M}_0 = M_0 \mathbf{E}, \quad \dot{\mathbf{M}}_0 = 0,$$

$$M_0 \approx \frac{Ck^2}{2d} \int_{\mathbf{r}} A^2 r^2 dV(\mathbf{r}),$$

Волновой пакет в изотропной континуальной среде

Меняется только радиус, перпендикулярный направлению движения

$$R_{\perp} = \sqrt{R_0^2 + v_{\perp}^2 t^2}$$

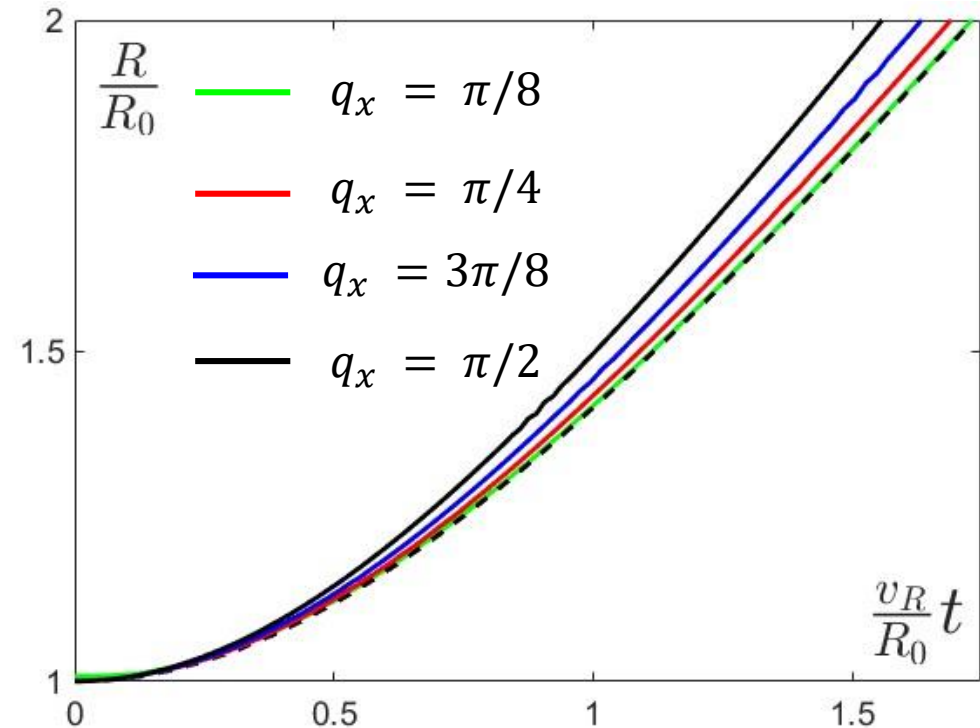
$$R_0 \approx \sqrt{\frac{\int_{\mathbf{r}} A^2 r^2 dV(\mathbf{r})}{d \int_{\mathbf{r}} A^2 dV(\mathbf{r})}}, \quad v_{\perp} \approx \frac{c}{k} \sqrt{\frac{\int_{\mathbf{r}} (\nabla A)^2 dV(\mathbf{r})}{d \int_{\mathbf{r}} A^2 dV(\mathbf{r})}}$$

Огибающая: кривая Гаусса в 2D $A(r) = e^{-\frac{r^2}{2\sigma^2}}$

$$\bar{R}_{\perp} = \sqrt{1 + \bar{t}^2},$$

$$\bar{R}_{\perp} = \frac{\sqrt{2}}{\sigma} R_{\perp}, \quad \bar{t} = \frac{c}{k\sigma^2} t.$$

$$\Lambda = \frac{\mathbf{G}_c t^2 + \dot{\mathbf{M}}_0 t + \mathbf{M}_0}{E}$$



Пример: волновой пакет в дискретной среде

Начальные условия

$$u(\mathbf{r}, 0) = A(r) \sin \theta,$$

$$v(\mathbf{r}, 0) = -A(r)\omega \cos \theta - \nabla A(r) \cdot \mathbf{v}_g \sin \theta, \quad \theta = \mathbf{k} \cdot \mathbf{r}.$$

Дисперсионное соотношение

$$\omega^2 = \omega_0^2 \sum_{\alpha} (1 - \cos(\mathbf{k} \cdot \mathbf{a}_{\alpha})), \quad \omega_0 = \sqrt{\frac{C}{m}}.$$

Групповая скорость

$$\mathbf{v}_g = \frac{d\omega}{d\mathbf{k}} = \frac{\omega_0^2}{2\omega} \sum_{\alpha} \mathbf{a}_{\alpha} \sin(\mathbf{k} \cdot \mathbf{a}_{\alpha}).$$

Групповая скорость и волновой вектор
не всегда сонаправлены

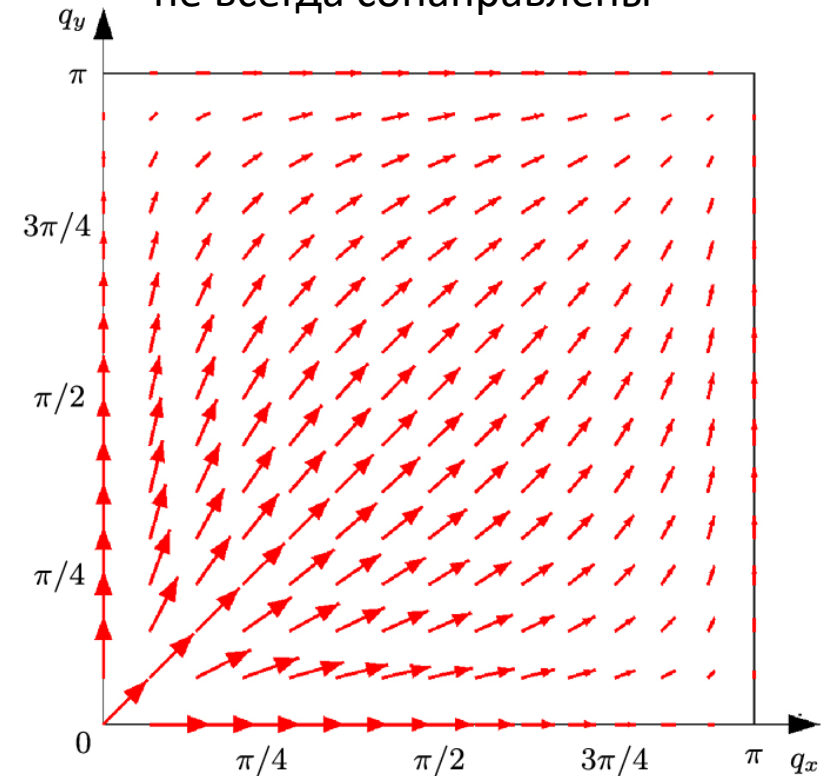


FIG. 2. Velocity vector field. The arrows indicate the magnitude and direction of the velocity vector.

Волновой пакет в дискретной среде

Энергию и поток вычисляем по начальным условиям

$$E = \frac{m\omega^2}{2} \sum_{\mathbf{r}} A^2 + \frac{m\mathbf{v}_g^2}{4d} \sum_{\mathbf{r}} (\nabla A)^2 + \frac{C}{4d} T \sum_{\mathbf{r}} (\nabla A)^2$$

$$\mathbf{h} = \mathbf{v}_g E - \frac{m\omega^2 a^2}{4d} \sum_{\mathbf{r}} (\nabla A)^2 \mathbf{v}_g - \frac{m\mathbf{v}_g^2}{4} \sum_{\mathbf{r}} (\nabla A)^2 \mathbf{v}_g - \frac{C}{4d} T \sum_{\mathbf{r}} (\nabla A)^2 \mathbf{v}_g + \frac{C}{4d} \mathbf{v}_g \cdot \mathbf{T} \sum_{\mathbf{r}} (\nabla A)^2$$

d — размерность пространства

A — начальная огибающая

$$\mathbf{T} = \frac{1}{2} \sum_{\alpha} \mathbf{a}_{\alpha} \mathbf{a}_{\alpha} \cos(\mathbf{k} \cdot \mathbf{a}_{\alpha})$$

$$T = \text{tr} \mathbf{T}$$

Суперпоток вычисляем в момент времени t^* , когда лагранжиан уже равен нулю. Но предполагаем, что $A(\mathbf{r}, t^*) \approx A(\mathbf{r}, 0) = A$.

$$\mathbf{G} = E \mathbf{v}_g \mathbf{v}_g + \frac{C^2}{2md} \mathbf{T} \cdot \mathbf{T} \sum_{\mathbf{r}} (\nabla A)^2 - \frac{m\omega^2 a^2}{2d} \sum_{\mathbf{r}} (\nabla A)^2 \mathbf{v}_g \mathbf{v}_g - \frac{CT}{2d} \sum_{\mathbf{r}} (\nabla A)^2 \mathbf{v}_g \mathbf{v}_g.$$

$$\mathbf{G}_c = \frac{m}{2d} \sum_{\mathbf{r}} (\nabla A)^2 (\omega_0^2 \mathbf{T} - \mathbf{v}_g \mathbf{v}_g)^2$$

Начальные значения центрального момента и его производной

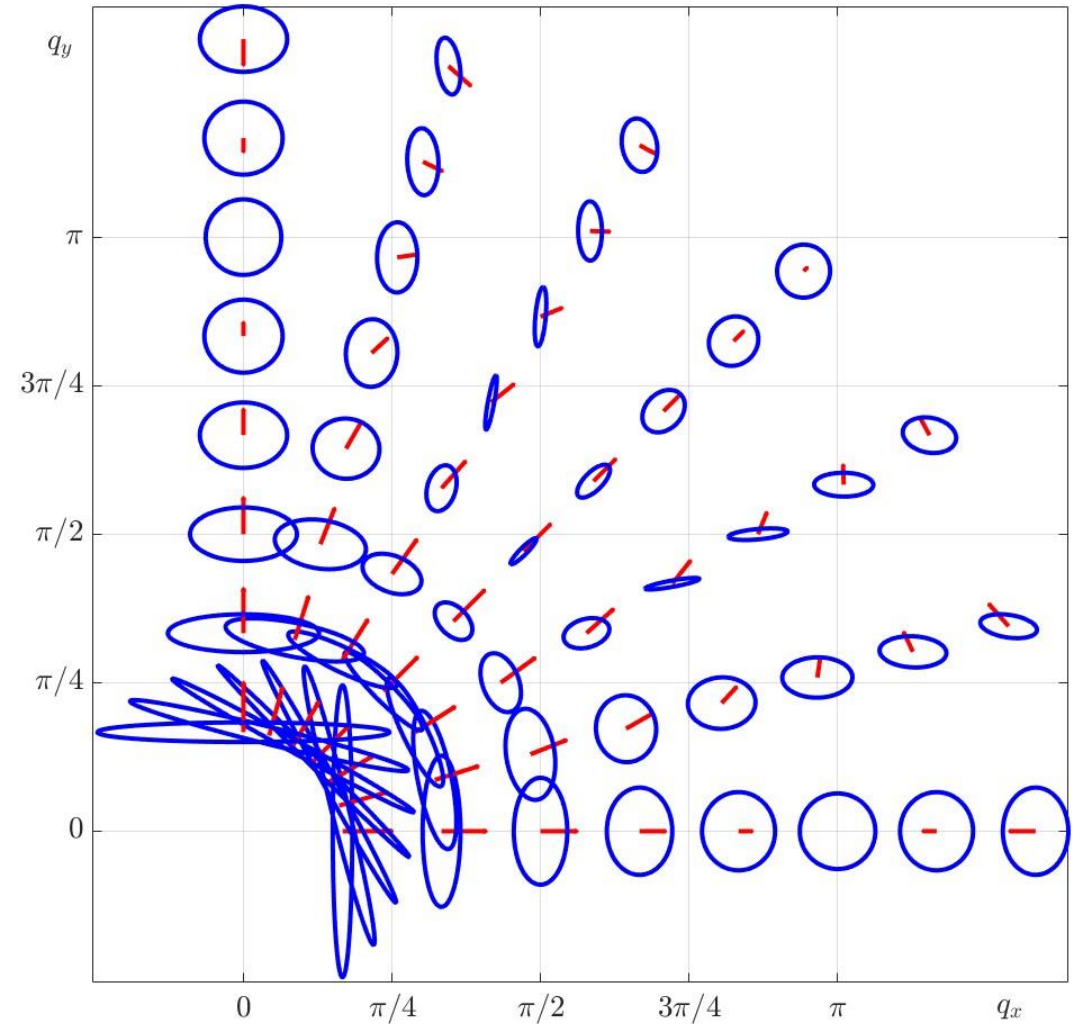
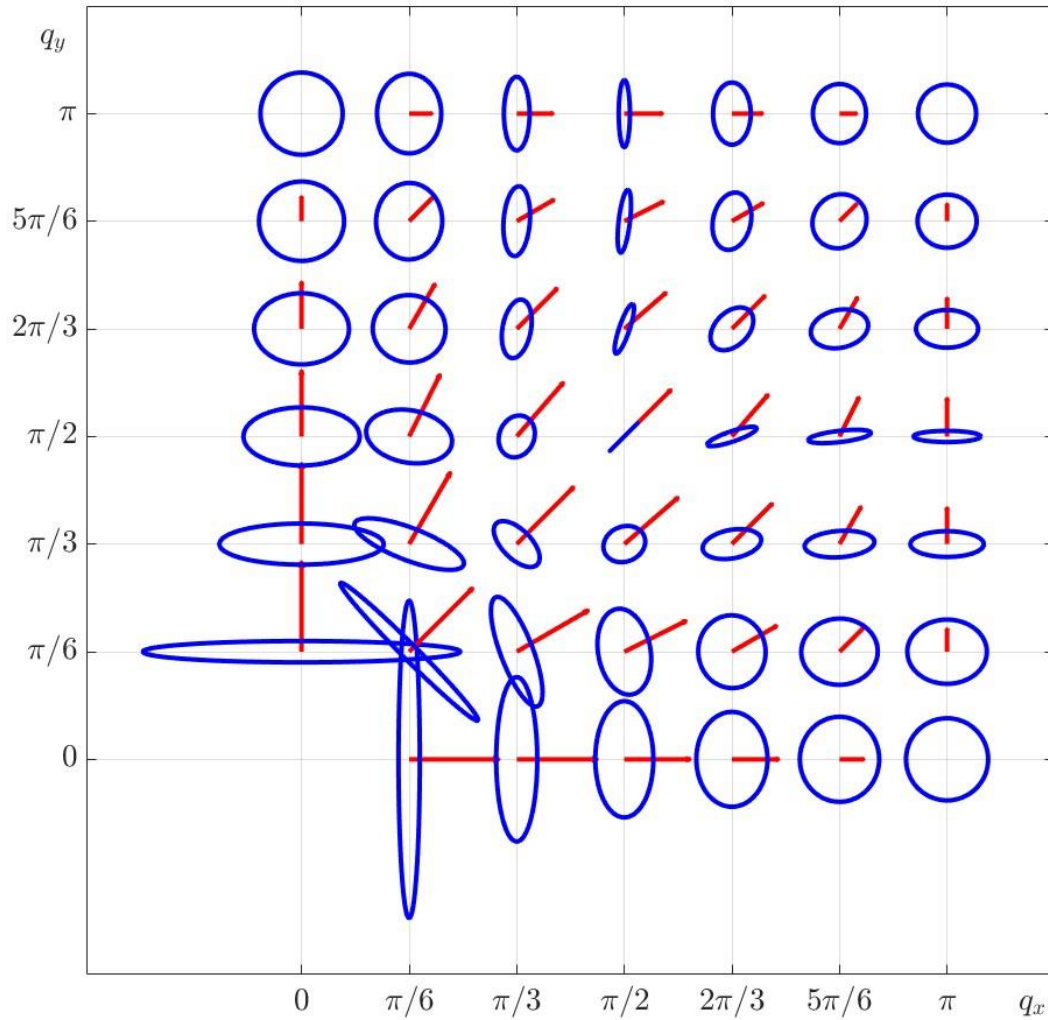
$$\mathbf{M}_0 \approx \frac{m\omega^2}{2d} \sum_{\mathbf{r}} A^2 r^2 \mathbf{E},$$

$$\dot{\mathbf{M}}_0 = 0.$$

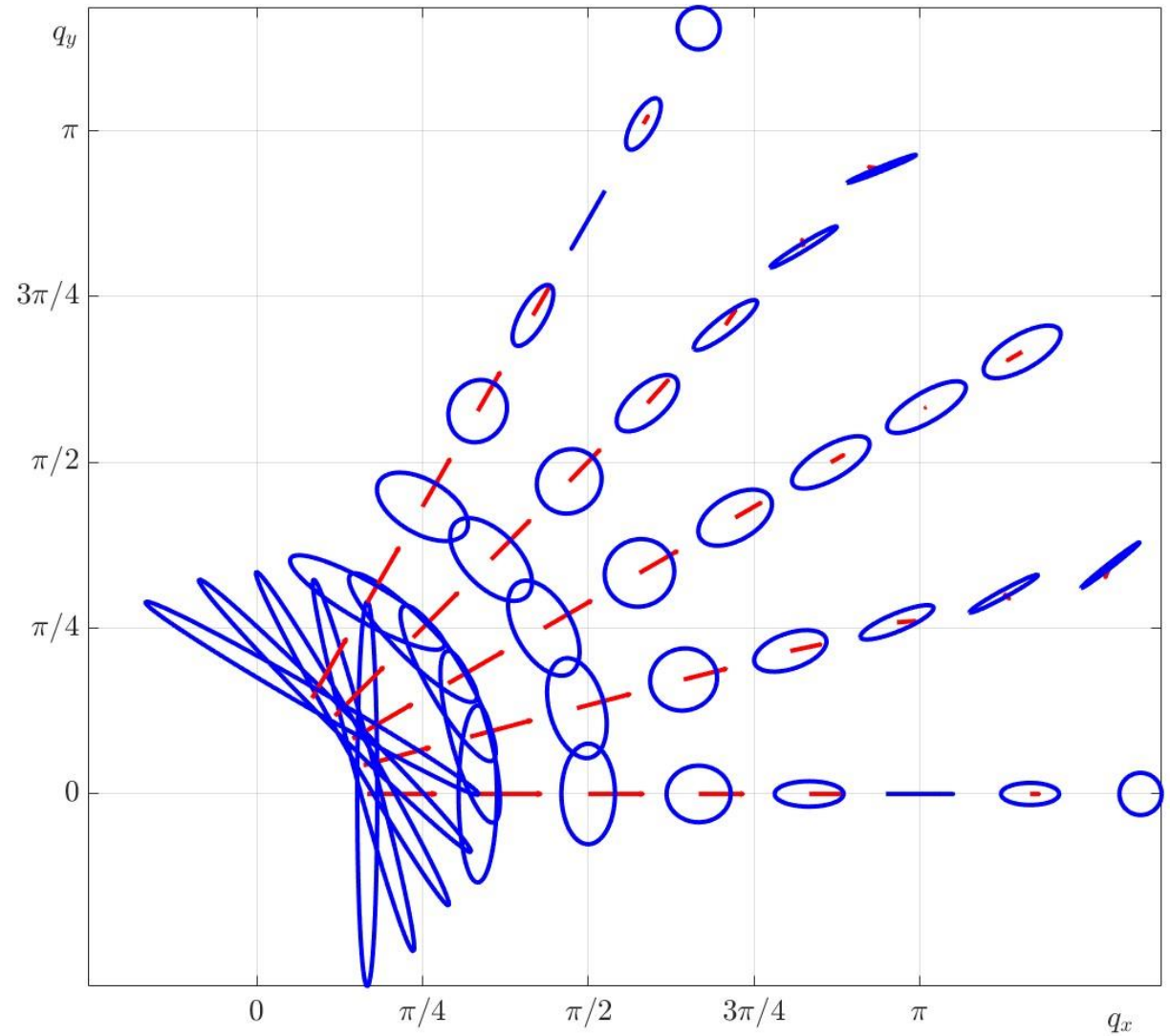
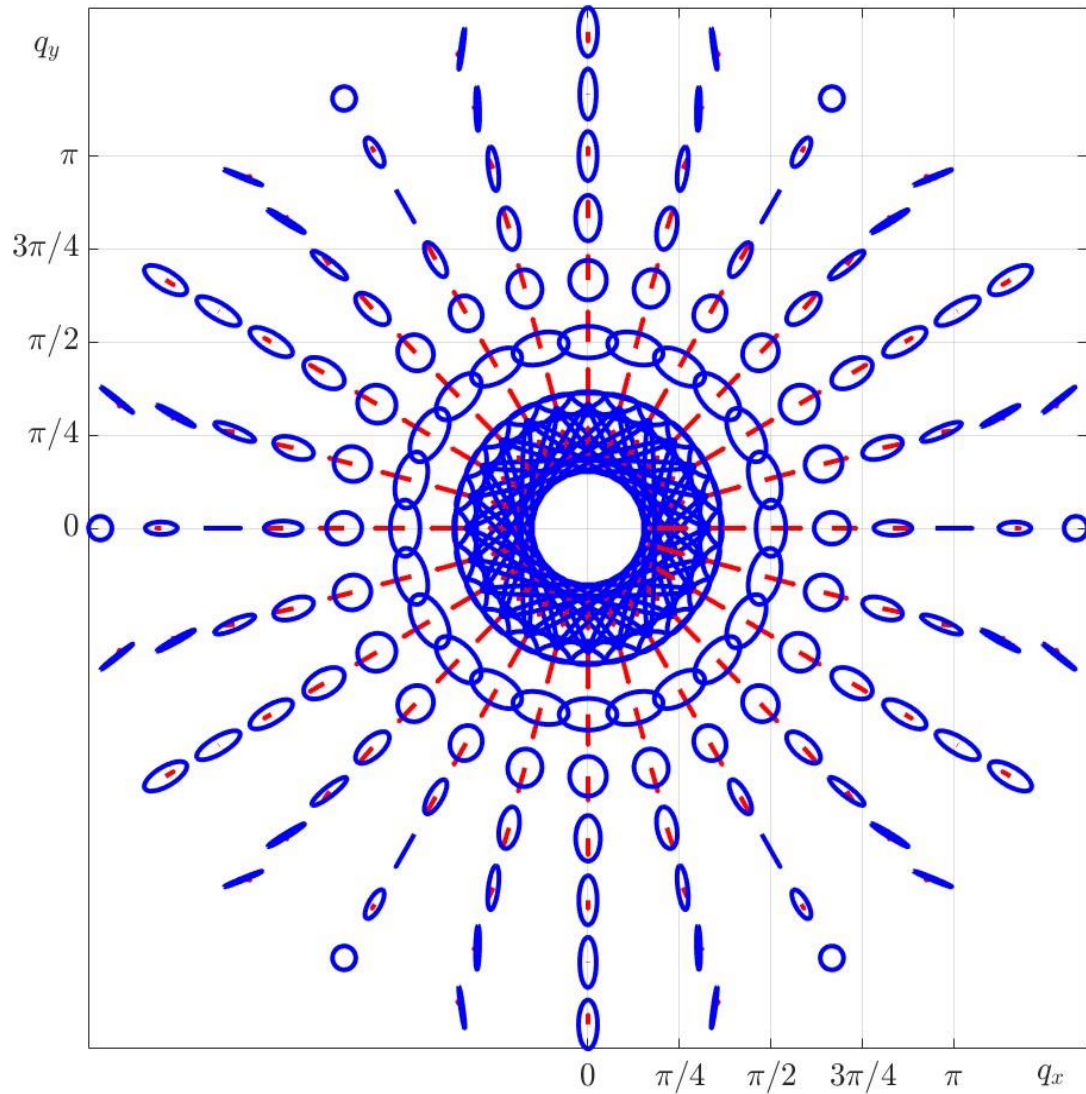
Квадратная решетка

Направления групповых скоростей и скоростей изменения энергетических радиусов при разных волновых векторах

$$\frac{\omega_e^2 \mathbf{T} - \mathbf{v}_g \mathbf{v}_g}{\omega a c} = \frac{1}{a c} \sqrt{\frac{\mathbf{G}_c}{E}} \sqrt{\frac{\sum_{\mathbf{r}} A^2}{2 \sum_{\mathbf{r}} (\nabla A)^2}}$$



Треугольная решетка



Волновой пакет в дискретной среде

- Длинные волны ($ak \rightarrow 0$) - совпадение с континуальным случаем
- Квадратная решетка. Движение вдоль связи. $\mathbf{k} = ki$.

$$\mathbf{G}_c = \frac{mc^4}{2d} \sum_{\mathbf{r}} (\nabla A)^2 \left(\sin^4 \frac{ak}{2} \mathbf{ii} + \mathbf{jj} \right)$$

$$R_{\perp} = \sqrt{R_0^2 + v_{\perp}^2 t^2}, \quad v_{\perp} = v_R.$$

$$R_{\parallel} = \sqrt{R_0^2 + v_{\parallel}^2 t^2}, \quad v_{\parallel} = v_R \sin^2 \left(\frac{ak}{2} \right)$$

$$R_0 = \sqrt{\frac{\sum_{\mathbf{r}} A^2 r^2}{d \sum_{\mathbf{r}} A^2}}, \quad v_R = \frac{c^2}{\omega} \sqrt{\frac{\sum_{\mathbf{r}} (\nabla A)^2}{d \sum_{\mathbf{r}} A^2}}.$$

Меняются оба радиуса, но поперечный всегда быстрее

Волновой пакет в дискретной среде

- Квадратная решетка. Движение по диагонали. $\mathbf{k} = k(\mathbf{i} + \mathbf{j})$

$$\mathbf{G}_c = \frac{mc^4}{2d} \sum_{\mathbf{r}} (\nabla A)^2 \left(\sin^4 \frac{ak}{2} \mathbf{e}_v \mathbf{e}_v + \cos^2(ak) (\mathbf{E} - \mathbf{e}_v \mathbf{e}_v) \right) \quad \mathbf{e}_v = \frac{1}{\sqrt{2}} (\mathbf{i} + \mathbf{j})$$

$$R_{\perp} = \sqrt{R_0^2 + v_{\perp}^2 t^2}, \quad v_{\perp} = v_R \cos(ak).$$

$$R_{\parallel} = \sqrt{R_0^2 + v_{\parallel}^2 t^2}, \quad v_{\parallel} = v_R \sin^2 \left(\frac{ak}{2} \right)$$

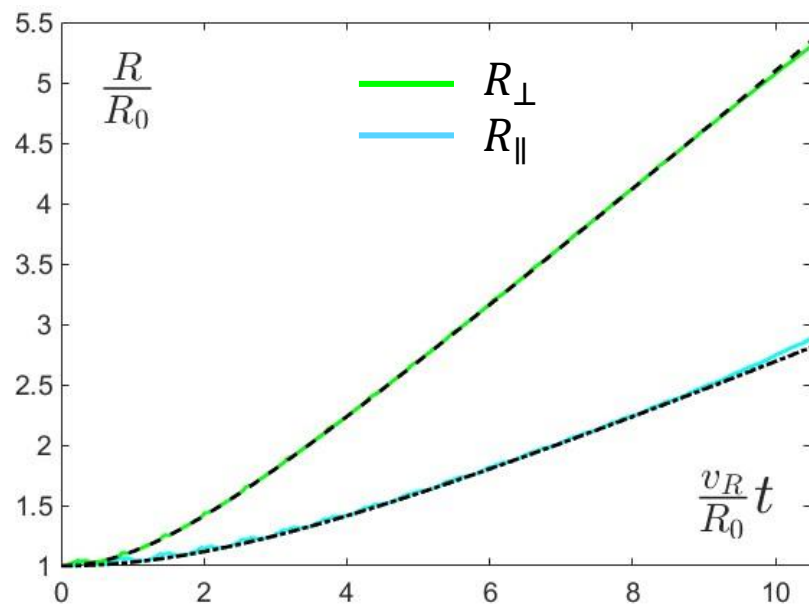
$$R_0 = \sqrt{\frac{\sum_{\mathbf{r}} A^2 r^2}{d \sum_{\mathbf{r}} A^2}}, \quad v_R = \frac{c^2}{\omega} \sqrt{\frac{\sum_{\mathbf{r}} (\nabla A)^2}{d \sum_{\mathbf{r}} A^2}}.$$

Волновой пакет в дискретной среде

Квадратная решетка. Движение по диагонали

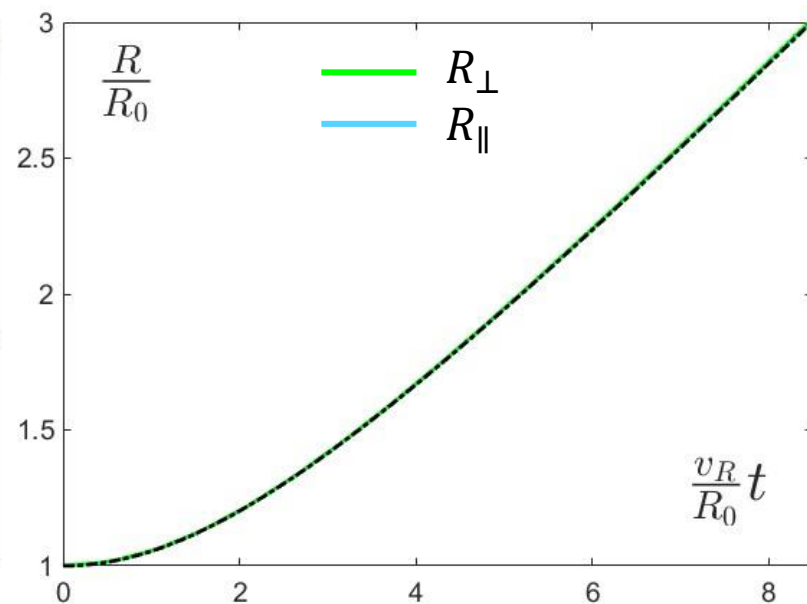
$$ak_x = ak_y < \arccos \frac{1}{3}$$

$$v_{\parallel} < v_{\perp}$$



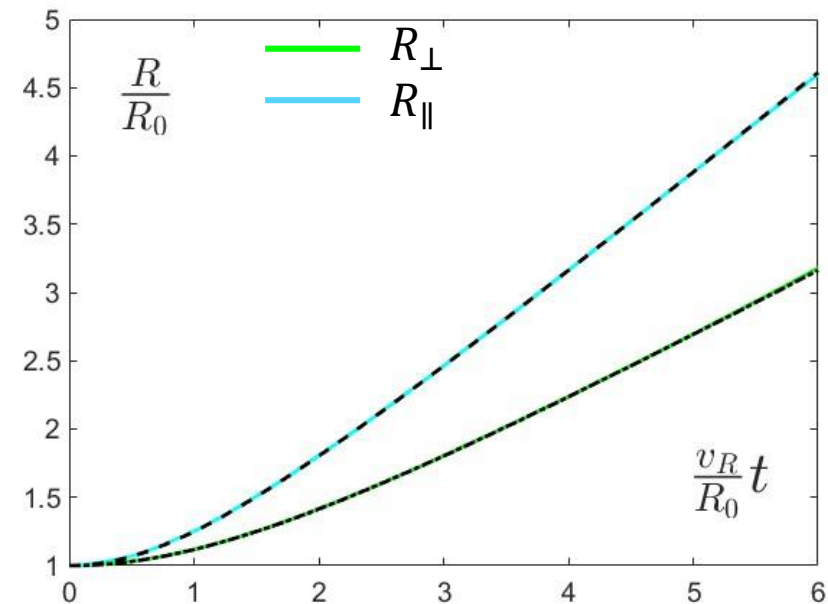
$$ak_x = ak_y = \arccos \frac{1}{3}$$

$$v_{\parallel} = v_{\perp}$$

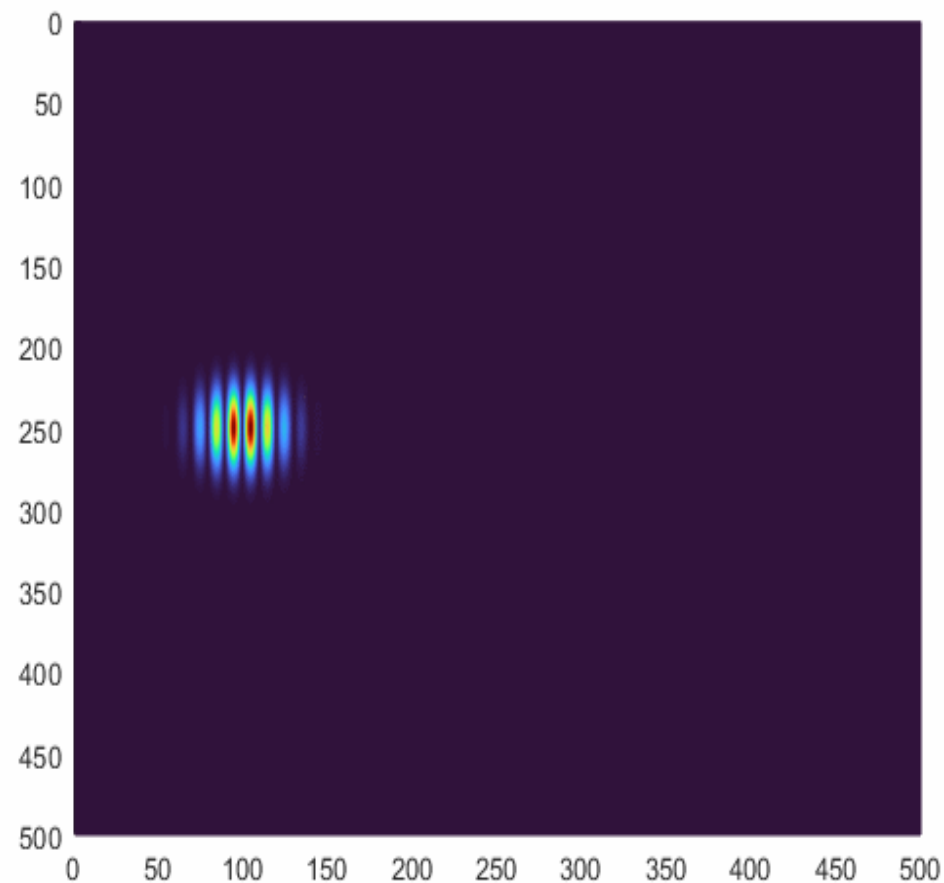
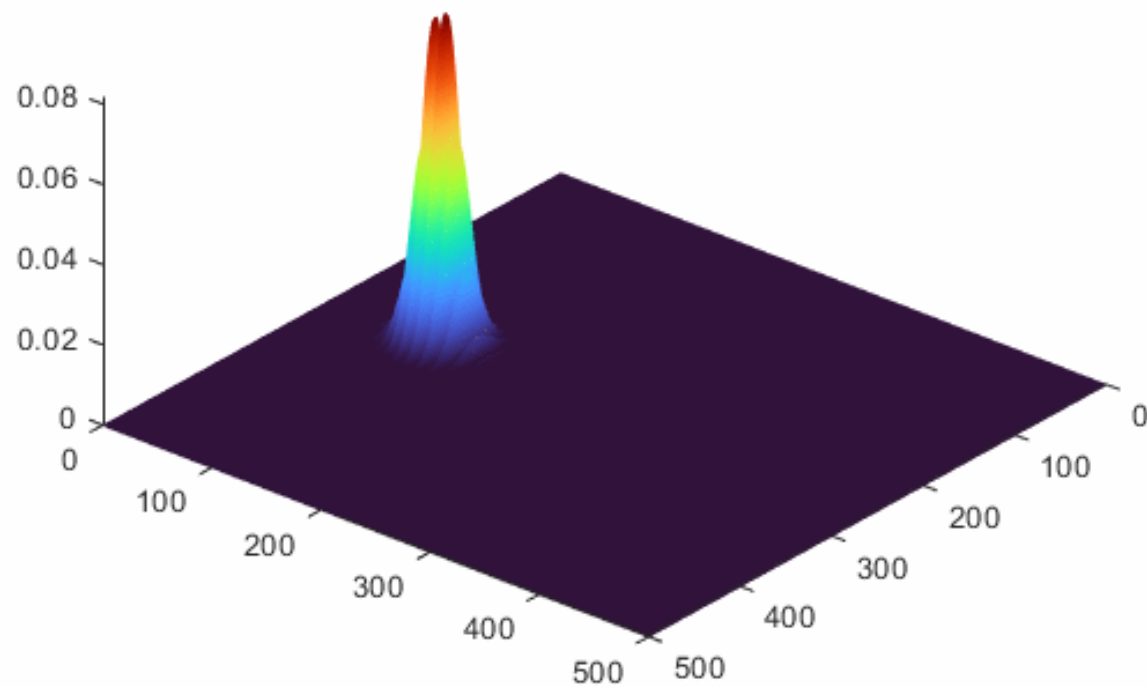


$$ak_x = ak_y > \arccos \frac{1}{3}$$

$$v_{\parallel} > v_{\perp}$$

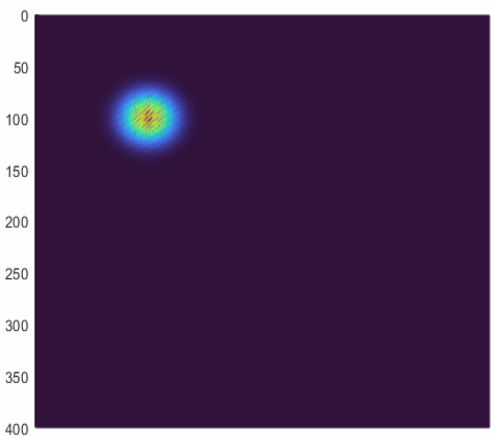
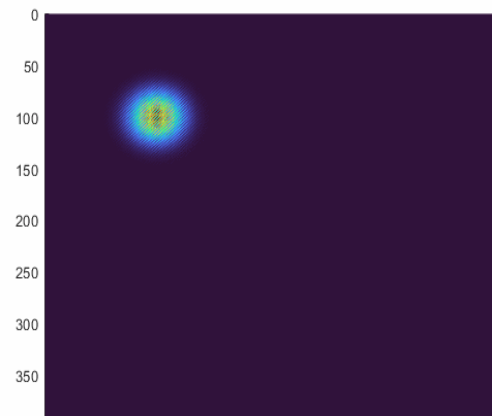


Волновой пакет в изотропной континуальной среде

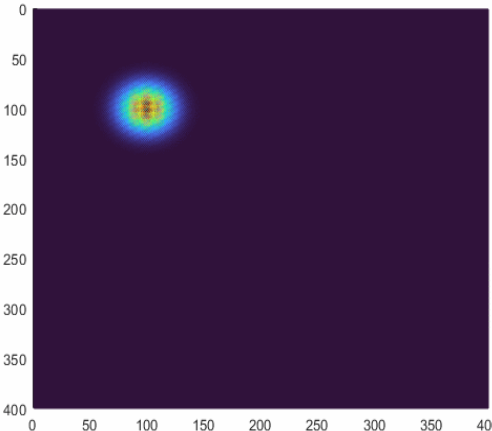


Движение по диагонали

$$ak_x = ak_y = \frac{\pi}{3}$$



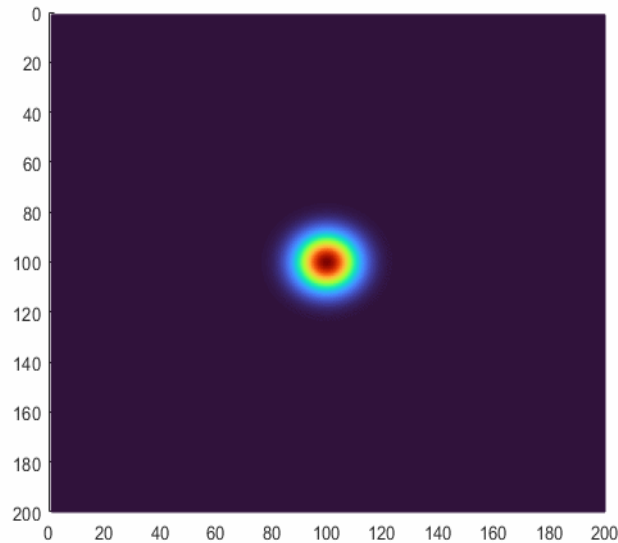
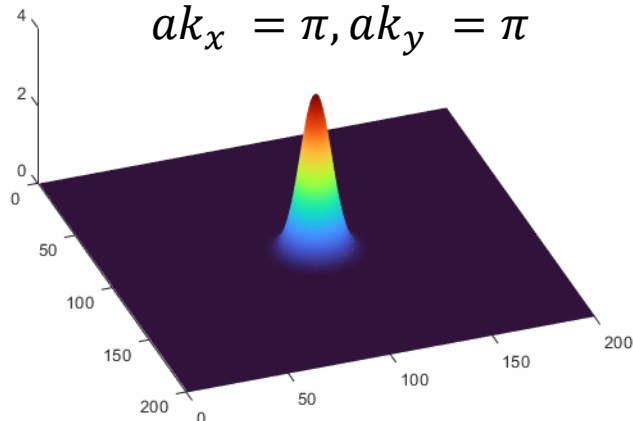
$$ak_x = ak_y = \arccos \frac{1}{3}$$



$$ak_x = ak_y = \frac{\pi}{2}$$

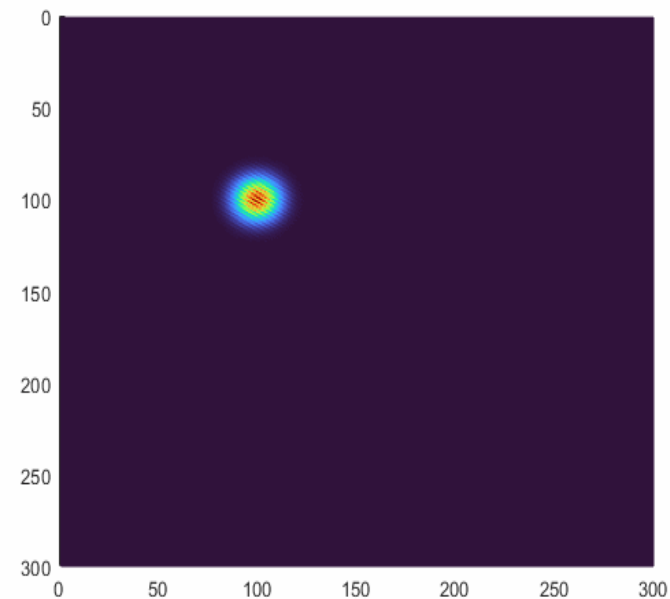
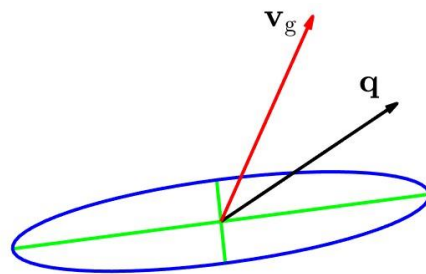
Стоячая волна

$$ak_x = \pi, ak_y = \pi$$



Движение по направлению "шахматного коня"

$$ak_x = \frac{3\pi}{4}, ak_y = \frac{3\pi}{8}$$

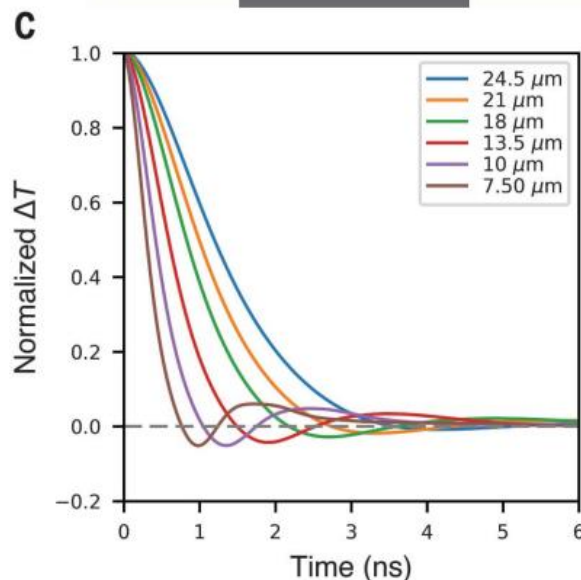
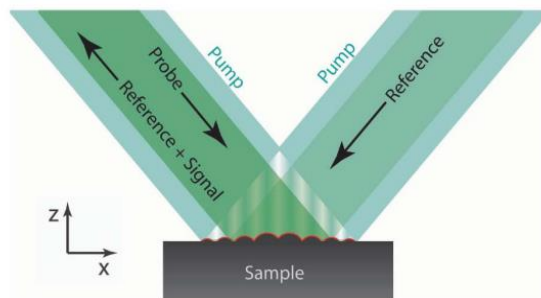


Результаты

- 1
- 2
- 3
- 4

Спасибо за внимание!

Эксперименты по нестационарному распространению тепла на наноуровне. Метод Transient Thermal Grating



- С помощью двух лучей лазера на поверхности материала генерируется синусоидальное распределение начальной температуры
- Тепловое расширение приводит к искривлению поверхности
- По искривлению поверхности находят температуру
...термоупругость!
- В поликристаллическом графите при $T \sim 100\text{K}$ амплитуда синусоидального поля температуры затухает немонотонно

- S. Huberman, R. A. Duncan, K. Chen, B. Song, V. Chiloyan, Z. Ding, A. A. Maznev, G. Chen, and K. A. Nelson, Observation of second sound in graphite at temperatures above 100 K, Science 364, 375 (2019).
- O.W. Kading, H. Skurk, A.A. Maznev, E. Matthias, Transient thermal gratings at surfaces for of bulk materials and thin films, Appl. Phys. A 61,253-261 (1995)